

COLLEGE DE FRANCE

COURS DE PHYSIQUE

ATOMIQUE ET MOLECULAIRE

Claude COHEN-TANNoudji

ANNEE SCOLAIRE : 1990 - 1991

TABLE DES MATIERES

Résumé du cours 1989 - 1990

I - 1

INTRODUCTION GENERALE

1 - Thème choisi	I - 5
2 - Systèmes en interaction	I - 5
3 - Temps caractéristiques - Fréquences caractéristiques	I - 6
4 - Localisation de l'atome - Traitement semiclassique ou quantique des degrés de liberté de translation	I - 9

ATOME DANS UNE ONDE LASER - DESCRIPTION DE LA DYNAMIQUE

1 - Introduction	II - 1
2 - Hamiltonien	II - 1
3 - Force radiative à la limite semiclassique	II - 2
4 - Equations du mouvement de la matrice densité atomique	II - 4
5 - Nouvelles approximations adaptées aux nouveaux mécanismes	II - 7
Appendice - Exemple simple de calcul de coefficient de diffusion - Atome à 2 niveaux à 1 noeud d'une onde stationnaire	II - 9

LIMITE DES FAIBLES INTENSITES ET FAIBLES VITESSES POMPAGE OPTIQUE ET DEPLACEMENTS LUMINEUX

1 - Elimination adiabatique des cohérences optiques	III - 1
2 - Nouvelle expression pour la force moyenne à la limite semiclassique	III - 2
3 - Matrice densité décrivant l'état des atomes excités dans e	III - 2
4 - Evolution de l'état fondamental à la limite semitopique	IV - 1
5 - Evolution de l'état fondamental - Traitement entièlement quantique	IV - 4

FORCE RADIATIVE MOYENNE A LA LIMITE DES FAIBLES INTENSITES
ET FAIBLES VITESSES

1 - Expression générale de la force moyenne	V - 1
2 - Interprétation de la force \mathcal{F} , associée aux déplacements lumineux	V - 2
3 - Développement de l'onde laser en ondes planes	V - 4
4 - Cas des mélasses optiques à une dimension	V - 6

LE REFROIDISSEMENT "SISYPHE" - ETUDE SEMICLASSIQUE D'UN MODELE A UNE DIMENSION

1 - Le modèle étudié	VI - 1
2 - Déplacements lumineux	VI - 3
3 - Equations du pompage optique	VI - 4
4 - Atome en mouvement - L'effet Sisyphe	VI - 5
5 - Solution des équations du pompage optique (pour un atome de vitesse v imposée)	VII - 1
6 - Description du mouvement atomique dans le régime $T_{int} \ll T_{ext}$	VII - 3

1 - Introduction

- Buts de ce chapitre : Donner une idée générale des approches théoriques qui ont été développées pour décrire quantitativement le mouvement d'un atome dans une onde laser. Introduire les équations de base sous une forme permettant de les appliquer au cas d'un atome ayant plusieurs sous-niveaux dans l'état fondamental.
- Description du mouvement par une force. La plus proche de la description classique. Ne s'applique que si l'atome est bien localisé en position et en vitesse (limite semi-classique). Approche de Gordon et Ashkin [Ref. 1].

Comme toutes les approches quantiques essayant de généraliser des équations classiques, cette approche utilise le point de vue de Heisenberg.

Séparations de la force agissant sur l'atome en une force moyenne et une force de Langevin fluctuante permettant de calculer le coefficient de diffusion de l'impulsion atomique.

- Description du mouvement atomique à partir des équations d'évolution de la matrice densité atomique (Comment évolue l'impulsion moyenne de l'atome ? la variance de cette impulsion ? Peut-on introduire des fonctions de distribution ? ...)
- Approche qui utilise l'autre point de vue, celui de Schrödinger.
- Divers niveaux de descriptions suivant qu'on s'intéresse à l'évolution d'une base d'opérateurs atomiques (équations de Bloch-Langevin), à celle de la matrice densité atomique incluant les 2 types de degrés de liberté internes et externes (équations de Bloch optiques généralisées), à celle de la matrice densité interne (équations de Bloch optiques).
- A la limite semi-classique, et quand il existe 2 échelles de temps bien distinctes permettant de découpler variables externes et variables internes, ces 2 approches sont équivalentes (voir Ref. 2)

2 - Hamiltoniens

- Rgit la dynamique du système global (voir Fig. 1 du cours I)

$$H = H_A + H_V + V_{AL} + V_{AV} \quad (2.1)$$

- Il n'y a pas d'hamiltonien H_L du champ laser quand ce dernier est décrit comme un champ extérieur classique (voir Eqs. 1.2)

Dans les approches de type atome habillé où le champ laser est traité quantiquement, il faut ajouter à (2.1) l'hamiltonien H_L du mode laser

- Hamiltonien atomique : H_A

$$H_A = H_A^{\text{ext}} + H_A^{\text{int}} \quad (2.2)$$

$$H_A^{\text{ext}} = \vec{P}^2 / 2M \quad (2.3)$$

$$H_A^{\text{int}} = \hbar \omega_A P_e \quad (2.4)$$

$$P_e = \sum_m |e_m\rangle \langle e_m| \quad P_g = \sum_\mu |g_\mu\rangle \langle g_\mu| \quad (2.5)$$

P_e et P_g : Projecteurs sur les sous-espaces de dégénérescence de e et g .

- Hamiltonien du champ quantique dans l'état vide : H_V

$$H_V = \sum_j \hbar \omega_j (a_j^\dagger a_j + \frac{1}{2}) \quad (2.6)$$

Somme d'hamiltoniens harmoniques relatifs aux divers modes j

Développement du champ électrique quantique en modes j

$$\vec{E}(\vec{r}) = i \sum_j \underbrace{\epsilon_{\omega_j} a_j \vec{E}_j e^{i k_j \cdot \vec{r}}}_{\vec{E}^+(\vec{r})} + h.c. \quad (2.7)$$

$$\epsilon_{\omega_j} = \sqrt{\frac{\hbar \omega_j}{2 \epsilon_0 L^3}} \quad \begin{array}{l} \text{composante de fréquence positive de } \vec{E} \\ \text{variant en } e^{-i \omega_j t} \text{ dans le point} \\ \text{de vue de Heisenberg} \end{array} \quad (2.8)$$

- Hamiltonien d'interaction atome-laser : V_{AL}

$$V_{AL} = - \vec{d} \cdot \vec{E}_L(\vec{R}, t) \quad (2.9)$$

$$\vec{d} = \vec{d}^+ + \vec{d}^- \quad (2.10.a)$$

$$\vec{d}^+ = P_e \vec{d}^+ P_g \quad \vec{d}^- = P_g \vec{d}^- P_e \quad (2.10.b)$$

Approximation du champ tournant

$$V_{AL} = - \vec{d}^+ \cdot \vec{E}_L^+(\vec{R}) e^{-i \omega_L t} - \vec{d}^- \cdot \vec{E}_L^-(\vec{R}) e^{+i \omega_L t} \quad (2.11)$$

$$\vec{E}_L(\vec{R}, t) = \vec{E}_L^+(\vec{R}) e^{-i \omega_L t} + \vec{E}_L^-(\vec{R}) e^{+i \omega_L t} \quad (2.12)$$

- Hamiltonien d'interaction atome-champ quantique du vide : V_{AV}

$$V_{AV} = - \vec{d} \cdot \vec{E}(\vec{R}) \approx - \vec{d}^+ \cdot \vec{E}^+(\vec{R}) - \vec{d}^- \cdot \vec{E}^-(\vec{R}) \quad (2.13)$$

3. Force radiative à la limite semi-classique

Équations de Heisenberg pour \vec{R} et \vec{P}

$$\dot{\vec{R}} = \frac{1}{i\hbar} [\vec{R}, H] = \frac{1}{i\hbar} [\vec{R}, H_A^{ext}] = \frac{\vec{P}}{m} \quad (2.14.a)$$

$$\dot{\vec{P}} = m \ddot{\vec{R}} = \frac{1}{i\hbar} [\vec{P}, H] = - \frac{\partial H}{\partial \vec{R}} \\ = - \vec{\nabla} V_{AL}(\vec{R}) - \vec{\nabla} V_{AV}(\vec{R}) \quad (2.14.b)$$

Champ du vide et champ source

- Dans V_{AV} figurent $\vec{E}(\vec{R})$ et les opérateurs d'annihilation $a_j(t)$ et de création $a_j^\dagger(t)$ d'un photon du mode j (voir Equ. 2.7)

- L'équation de Heisenberg de $a_j(t)$ est une équation différentielle linéaire avec un terme source atomique, qui s'écrit aisément (voir Ref. 3 Complément Av.)

$$a_j(t) = \underbrace{a_j(0) e^{-i \omega_j t}}_{a_j^{vide}(t)} + a_j^{source}(t) \quad (2.15)$$

1^{er} terme : champ du vide évoluant librement entre 0 et t

2^{er} terme : champ source venant du dipôle atomique

$$\hookrightarrow \vec{E}(\vec{R}, t) = \vec{E}^{vide}(\vec{R}, t) + \vec{E}^{source}(\vec{R}, t) \quad (2.16)$$

- Choix dans V_{AV} de l'ordre normal (tous les a_j à droite, les a_j^\dagger à gauche) conduisant à des calculs plus simples quand on prend des valeurs moyennes dans le vide $\langle 0 | \rangle$ puisque

$$\langle 0 | a_j^\dagger | 0 \rangle = 0 \quad \langle 0 | a_j | 0 \rangle = 0 \quad (2.17)$$

Opérateur force radiative semiclassique

II-3

- On reporte (2.16) dans (2.13) puis dans (2.14.b). Le gradient de $\vec{E}_{\text{source}}(\vec{r}, t)$ du dipôle au point \vec{R} où ce dipôle est situé est nul (c'est une fonction paire de $\vec{r} - \vec{R}$). Seule subsiste donc dans $-\vec{\nabla} V_{AV}(\vec{R})$ la contribution de $\vec{E}_{\text{vide}}(\vec{R})$, de sorte qu'on obtient pour \vec{P} c'est à dire pour l'opérateur force $\vec{F}(\vec{R}, t)$

$$\vec{F}(\vec{R}, t) = -\vec{\nabla} V_{AL}(\vec{R}, t) - : \vec{\nabla} V_{AV}^{\text{vide}}(\vec{R}, t) : \quad (2.18)$$

où le dernier terme représente la contribution de \vec{E}_{vide} dans V_{AV} rangé dans l'ordre normal

- Si le paquet d'ondes atomique est bien localisé en position et en vitesse à $t=0$, on peut remplacer, au voisinage de $t=0$, l'opérateur $\vec{R}(t)$ qui apparaît dans (2.18) par le nombre $\vec{r}_0 + \vec{v}_0 t$

$$\vec{R}(t) \longrightarrow \vec{r}_0 + \vec{v}_0 t \quad (2.19)$$

$$\text{où } \vec{r}_0 = \langle \vec{R}(0) \rangle \quad \vec{v}_0 = \langle \vec{P}(0) \rangle / M \quad (2.20)$$

L'opérateur (2.18) devient alors un opérateur qui n'agit plus que sur les variables des champs et les variables atomiques internes. Ce n'est plus un opérateur vis à vis des variables atomiques externes.

Force moyenne \vec{F}

- On remplace \vec{R} par $\vec{r}_0 + \vec{v}_0 t$ dans (2.18) et on prend la valeur moyenne. Dans le point de vue de Heisenberg, l'état du champ est le même qu'à $t=0$. C'est donc le vide. Le 2^e terme de (2.18) donne alors une valeur moyenne nulle à cause de l'ordre normal et de (2.17). On obtient pour la force moyenne

$$\vec{F}(\vec{r}_0 + \vec{v}_0 t, t) = -\langle \vec{\nabla} V_{AL}(\vec{r}, t) \rangle \Big|_{\vec{r} = \vec{r}_0 + \vec{v}_0 t} \quad (2.21)$$

- En utilisant (2.12), on peut récrire (2.21) sous la forme

$$\boxed{\vec{F}(\vec{r}, t) = + \sum_{i=x,y,z} \left[\langle d_i^+ \rangle \vec{\nabla} E_{Li}^+(\vec{r}) e^{-i\omega_L t} + \langle d_i^- \rangle \vec{\nabla} E_{Li}^-(\vec{r}) e^{+i\omega_L t} \right]} \quad (2.22)$$

$$\text{où } \vec{r} = \vec{r}_0 + \vec{v}_0 t .$$

Force de Langevin $\delta \vec{F}$

- On peut toujours écrire (en posant encore $\vec{r} = \vec{r}_0 + \vec{v}_0 t$)

$$\vec{F}(\vec{r}, t) = \vec{F}(\vec{r}, t) + \delta \vec{F}(\vec{r}, t) \quad (2.23)$$

$$\text{où } \delta \vec{F}(\vec{r}, t) = \vec{F}(\vec{r}, t) - \vec{F}(\vec{r}, t) = \vec{F}(\vec{r}, t) - \langle \vec{F}(\vec{r}, t) \rangle \quad (2.24)$$

est la partie fluctuante de \vec{F}

- Séparons les contributions de V_{AL} et V_{AV} à $\delta \vec{F}$. En utilisant (2.18), (2.21), (2.22), on obtient

$$\begin{aligned} \delta \vec{F}_{\text{laser}}(\vec{r}, t) &= -\vec{\nabla} V_{AL}(\vec{r}, t) + \langle \vec{\nabla} V_{AL}(\vec{r}, t) \rangle \\ &= \sum_{i=x,y,z} \left[\delta d_i^+ \vec{\nabla} E_{Li}^+(\vec{r}) e^{+i\omega_L t} + \delta d_i^- \vec{\nabla} E_{Li}^-(\vec{r}) e^{-i\omega_L t} \right] \end{aligned} \quad (2.25)$$

$$\text{où } \delta d_i^\pm = d_i^\pm - \langle d_i^\pm \rangle \quad (2.26)$$

est la partie fluctuante du dipôle atomique

$$\begin{aligned}\delta \vec{F}_{\text{vide}}(\vec{r}, t) &= - : \vec{\nabla} V_{AV}^{\text{vide}}(\vec{r}, t) : + \underbrace{\langle : \vec{\nabla} V_{AV}^{\text{vide}}(\vec{r}, t) : \rangle}_{= \vec{0}} \\ &= \sum_{i=x,y,z} [d_i^+ \vec{\nabla} E_{\text{vide}i}^+(\vec{r}, t) + \vec{\nabla} E_{\text{vide}i}^-(\vec{r}, t) d_i^-]\end{aligned}\quad (2.27)$$

- Le coefficient de diffusion D de l'impulsion atomique, défini par

$$\frac{d}{dt} \Delta P^2(t) = 2D \quad (2.28)$$

où $\Delta P^2(t) = \langle [\vec{P}(t) - \langle \vec{P}(t) \rangle]^2 \rangle$ est la variance de l'impulsion et relié simplement à la fonction de corrélation de $\delta \vec{F}$ [voir Ref. 1]

$$D = \text{Re} \int_0^\infty dt \langle \delta \vec{F}(t) \cdot \delta \vec{F}(t-t) \rangle \quad (2.29)$$

Répliquons $\delta \vec{F}$ par $\delta \vec{F}_{\text{laser}} + \delta \vec{F}_{\text{vide}}$. On peut montrer que les termes croisés en $\delta \vec{F}_{\text{laser}} \cdot \delta \vec{F}_{\text{vide}}$ ont une contribution nulle dans (2.29). On peut donc écrire

$$D = D_{\text{laser}} + D_{\text{vide}} \quad (2.30)$$

avec

$$D_{\text{laser}} = \text{Re} \int_0^\infty dt \langle \delta \vec{F}_{\text{laser}}(t) \cdot \delta \vec{F}_{\text{laser}}(t-t) \rangle \quad (2.31)$$

$$D_{\text{vide}} = \text{Re} \int_0^\infty dt \langle \delta \vec{F}_{\text{vide}}(t) \cdot \delta \vec{F}_{\text{vide}}(t-t) \rangle \quad (2.32)$$

D_{laser} est associé aux fluctuations des échanges d'impulsions lors des processus d'absorption et d'émission induite de photons laser. D_{vide} est associé aux fluctuations des échanges d'impulsion lors des processus d'émission spontanée.

- Pour obtenir la force moyenne \vec{F} et le coefficient de diffusion D , il faut calculer la valeur moyenne et les fonctions de corrélation du dipôle atomique. Ceci nous amène tout naturellement aux équations du mouvement de la matrice densité atomique
- Voir en appendice un exemple simple de calcul de coefficient de diffusion

4. Équations du mouvement de la matrice densité atomique

a. Équations de Bloch optiques (voir Ref. 3, chapitres IV et V)

Approximations

- On ne quantifie pas les degrés de liberté extérieurs.
- \vec{R} est remplacé par $\vec{r} = \vec{r}_0 + \vec{v}_0 t$.
- $\vec{p}^2/2M$ n'est pas inclus dans H .
- L'effet de l'émission spontanée est décrit par une équation pilote. Approximation justifiée par la vitesse du temps t_c , temps de corrélation des fluctuations du vide (voir cours I).
- Les termes de relaxation par émission spontanée ne sont pas modifiés par la présence du laser. Pendant t_c , le couplage V_{AV} n'a pas le temps de se manifester ($\Omega, t_c \ll 1$).
- ↳ On ajoute indépendamment les vitesses d'évolution de σ dues à $H_A^{\text{int}} + V_{AL}$ et à l'émission spontanée.

$$\frac{d\sigma}{dt} = \underbrace{\frac{1}{i\hbar} [H_A^{\text{int}} + V_{AL}, \sigma]}_{\text{Évolution hamiltonienne}} + \underbrace{\mathcal{T}(\sigma)}_{\text{Relaxation due à l'émission spontanée}} \quad (2.33)$$

Structure de σ

- Transition atomique $J_g \leftrightarrow J_e$: J_g (J_e) moment cinétique de g (e)

$$\sigma = \begin{pmatrix} \sigma_{ee} & \sigma_{eg} \\ \sigma_{ge} & \sigma_{gg} \end{pmatrix} \quad \sigma_{ge} = \sigma_{eg}^+ \quad (2.35)$$

$\sigma_{ee} = P_e \sigma_e$ Matrice carrée $(2J_e + 1) \times (2J_e + 1)$ Contenant des populations et des cohérences Zeeman.
 $\sigma_{gg} = P_g \sigma_g$ " " $(2J_g + 1) \times (2J_g + 1)$
 $\sigma_{eg} = P_e \sigma_g$ Matrice rectangle $(2J_e + 1) \times (2J_g + 1)$ Cohérences optiques.

Termes décrivant l'effet de l'émission spontanée (voir Ref. 4)

- Très simples pour σ_{ee} et σ_{eg}

$$P_e \bar{\sigma}(e) P_e = -\Gamma \sigma_{ee}$$

L'atome quitte e avec un taux Γ

$$P_e \bar{\sigma}(e) P_g = -\frac{\Gamma}{2} \sigma_{eg}$$

les cohérences optiques sont amorties avec un taux $\Gamma/2$ (le déplacement de Lamb est inclus dans σ_A)

- Un peu plus compliqué pour σ_{gg} . Les termes correspondants décrivent l'alimentation de g à partir de e

$$P_g \bar{\sigma}(g) P_g = \Gamma \sum_{q=+1,0,-1} (\hat{d} \cdot \hat{e}_q^*) \sigma_{ee} (\hat{d} \cdot \hat{e}_q) \quad (2.36.a)$$

$$\hat{e}_{+1} = -\frac{1}{\sqrt{2}}(\hat{E}_x + i\hat{E}_y) \quad \hat{e}_0 = \hat{E}_z \quad \hat{e}_{-1} = \frac{1}{\sqrt{2}}(\hat{E}_x - i\hat{E}_y) \quad (2.36.b)$$

\hat{d} : opérateur dipole réduit, proportionnel à \vec{d} , mais sans dimensions et normalisé de la manière suivante : $\langle e_{m+q} | \hat{E}_q \cdot \hat{d}^+ | g_m \rangle$ est le coefficient de Clebsch-Gordan de la transition $g_m \rightarrow e_{m+q}$, normalisé de manière que la somme des carrés de ces coefficients partant d'un sous niveau excité unique soit égale à 1. Cette condition est équivalente à $\hat{d}^+ \cdot \hat{d}^- = P_e$

- Exemple concret : Transition $J_g = 1/2 \leftrightarrow J_e = 3/2$

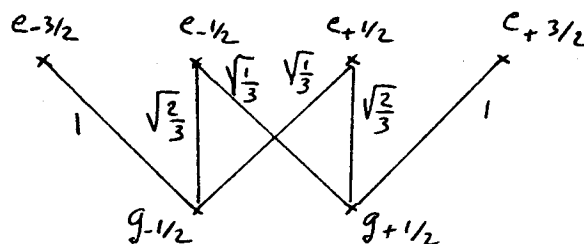


Fig. 1

$$\left(\dot{\sigma}_{g+1/2 g+1/2} \right)_{sp} = \Gamma \sigma_{e_{3/2} e_{3/2}} + \frac{2}{3} \Gamma \sigma_{e_{1/2} e_{1/2}} + \frac{1}{3} \Gamma \sigma_{e_{-1/2} e_{-1/2}} \quad (2.38.a)$$

$$\left(\dot{\sigma}_{g-1/2 g-1/2} \right)_{sp} = \Gamma \sigma_{e_{-3/2} e_{-3/2}} + \frac{2}{3} \Gamma \sigma_{e_{-1/2} e_{-1/2}} + \frac{1}{3} \Gamma \sigma_{e_{1/2} e_{1/2}} \quad (2.38.b)$$

$$\left(\dot{\sigma}_{g+1/2 g-1/2} \right)_{sp} = \Gamma \sqrt{\frac{1}{3}} \sigma_{e_{+3/2} e_{+1/2}} + \Gamma \frac{2}{3} \sigma_{e_{+1/2} e_{-1/2}} + \Gamma \sqrt{\frac{1}{3}} \sigma_{e_{-1/2} e_{-3/2}} \quad (2.38.c)$$

Le fait que l'émission spontanée ne couple pas les populations aux cohérences Zeeman et ne couple entre elles que des cohérences Zeeman de même. On est sûr à l'isotropie du vide et à l'invariance par rotations de VAL.

Équations d'évolution de cohérences optiques σ_{eg}

$$\dot{\sigma}_{eg} = \frac{1}{i\hbar} \underbrace{P_e [H_A, \sigma]}_{= -i\omega_A \sigma_{eg}} + \frac{1}{i\hbar} \underbrace{P_e [VAL(\vec{r}, t), \sigma]}_{= -\Gamma \sigma_{eg}/2} P_g + \underbrace{P_e \mathcal{S}(\sigma) P_g}_{(2.39)}$$

$$P_e [VAL(\vec{r}, t), \sigma] P_g = -\vec{d}^+ \cdot \vec{E}_L^+(\vec{r}) \sigma_{gg} e^{-i\omega_L t} + \sigma_{ee} \vec{d}^+ \cdot \vec{E}_L^+(\vec{r}) e^{-i\omega_L t} \quad (2.40)$$

Bien que la fonction classique $\vec{E}_L^+(\vec{r})$ commute avec les opérateurs internes σ_{ee} et σ_{gg} , l'ordre entre ces 2 quantités a été conservé tel qu'il apparaît dans le calcul du commutateur. En effet, dans le paragraphe suivant, \vec{r} sera remplacé par l'opérateur \vec{R} dans $\vec{E}_L^+(\vec{r})$, et σ sera un opérateur agissant non plus seulement sur les degrés de liberté internes mais également sur les degrés de liberté externes. Les 2 opérateurs σ et $\vec{E}_L^+(\vec{r})$ ne commutent plus alors nécessairement et il faudra garder l'ordre tel qu'il apparaît dans (2.40).

Pour éliminer les $e^{-i\omega_L t}$ qui apparaissent dans (2.40), posons

$$\tilde{\sigma}_{eg} = \sigma_{eg} e^{i\omega_L t} \quad (2.41)$$

On obtient alors

$$\dot{\tilde{\sigma}}_{eg} = -\left(\frac{\Gamma}{2} - i\delta\right) \tilde{\sigma}_{eg} - \frac{1}{i\hbar} \left[\vec{d}^+ \cdot \vec{E}_L^+(\vec{r}) \sigma_{gg} - \sigma_{ee} \vec{d}^+ \cdot \vec{E}_L^+(\vec{r}) \right] \quad (2.42)$$

où $\delta = \omega_L - \omega_A$ est le désaccord (voir Eq. 1.6)

Équations d'évolution de σ_{ee} et σ_{gg}

Un calcul analogue donne, compte tenu de (2.35.a)

$$\dot{\sigma}_{ee} = -\Gamma \sigma_{ee} - \frac{1}{i\hbar} \left[\vec{d}^+ \cdot \vec{E}_L^+(\vec{r}) \tilde{\sigma}_{ge} - \tilde{\sigma}_{eg} \vec{d}^- \cdot \vec{E}_L^-(\vec{r}) \right] \quad (2.43)$$

et

$$\dot{\sigma}_{gg} = P_g \mathcal{S}(\sigma) P_g - \frac{1}{i\hbar} \left[\vec{d}^+ \cdot \vec{E}_L^-(\vec{r}) \tilde{\sigma}_{eg} - \tilde{\sigma}_{ge} \vec{d}^- \cdot \vec{E}_L^+(\vec{r}) \right] \quad (2.44)$$

b. Équations de Bloch optiques généralisées

Éléments nouveaux par rapport au paragraphe précédent.

- On quantifie les degrés de liberté externes. Les σ_{ab} avec $a, b = e, g$ sont des opérateurs à la fois internes et externes, qui ont des éléments de matrice en représentations $\{|\vec{r}\rangle\}$: $\langle \vec{r}' | \sigma_{ab} | \vec{r}'' \rangle$, en représentations $\{|\vec{p}\rangle\}$: $\langle \vec{p}' | \sigma_{ab} | \vec{p}'' \rangle$ ou en représentation de Wigner: $W_{ab}(\vec{r}, \vec{p})$.
- Le champ laser $\vec{E}_L^+(\vec{R})$ ou $\vec{E}_L^-(\vec{R})$, qui apparaît dans VAL , contient l'opérateur \vec{R} et est donc un opérateur externe. Il faut donc faire attention à l'ordre entre σ_{ab} et $\vec{E}_L^+(\vec{R})$ dans le calcul de $[VAL, \sigma]$ (voir plus haut le commentaire après (2.40)).
- Il faut garder l'hamiltonien $\vec{P}^2/2M$ dans H .
- Les termes décrivant l'émission spontanée ont la même forme (2.35) pour σ_{ee} et σ_{gg} . Pour σ_{gg} , il sont modifiés, ce qui se comprend aisément puisqu'ils doivent décrire le transfert d'impulsion de $e \rightarrow g$ quand l'atome retombe de $e \rightarrow g$ en émettant un photon de fluorescence [voir Refs. 2, 3 et 4, 5]. De telles équations sont également discutées dans les Refs. 6 et 7.

Elles s'écrivent

$$P_g S(\vec{S}) P_g = \Gamma \int \frac{d^2 K}{8\pi/3} \sum_{\vec{E} \perp \vec{K}} (\hat{d} \cdot \hat{E}^*) e^{i \vec{K} \cdot \vec{R}} \sigma_{ee} e^{i \vec{K} \cdot \vec{R}} (\hat{d}^+ \cdot \hat{E}) \quad (2.45)$$

où \hat{d}^- et \hat{d}^+ ont été déjà définis plus haut, à propos de (2.36). Dans (2.45), \vec{K} est un vecteur unitaire caractérisant la direction dans laquelle est émis un photon de fluorescence de vecteur d'onde

$$\vec{k} = \frac{w_A}{c} \hat{K} \quad (2.46)$$

avec une polarisation \hat{E} perpendiculaire à \hat{K} . Les 2 opérateurs $e^{i \vec{K} \cdot \vec{R}}$ et $e^{+i \vec{K} \cdot \vec{R}}$, qui encadrent σ_{ee} dans (2.45), font que $\langle \vec{p}'' | \sigma_{gg} | \vec{p}' \rangle$ est augmenté par émission spontanée à partir de $\langle \vec{p}'' + \vec{r} \vec{k} | \sigma_{ee} | \vec{p}' + \vec{r} \vec{k} \rangle$. On voit apparaître clairement que l'émission spontanée d'un photon \vec{k} diminue l'impulsion atomique de $\vec{r} \vec{k}$. Le fait que les transferts par émission spontanée se font à $\vec{p}' - \vec{p}''$ constant est dû à l'homogénéité de l'état vide $|0\rangle$ et à l'invariance de V_{AV} par translations.

Nouvelles équations d'évolution

$$\begin{aligned} \dot{\sigma}_{eg} &= -\left(\frac{\Gamma}{2} - i\delta\right) \tilde{\sigma}_{eg} + \frac{i}{\hbar} \left[\frac{\vec{p}^2}{2m}, \tilde{\sigma}_{eg} \right] \\ &\quad - \frac{1}{i\hbar} \left[\hat{d}^+ \cdot \vec{E}_L^+(\vec{R}) \sigma_{gg} - \sigma_{ee} \hat{d}^+ \cdot \vec{E}_L^+(\vec{R}) \right] \end{aligned} \quad (2.47)$$

$$\dot{\sigma}_{ee} = -\Gamma \sigma_{ee} + \frac{i}{\hbar} \left[\frac{\vec{p}^2}{2m}, \sigma_{ee} \right] - \frac{i}{\hbar} \left[\hat{d}^+ \cdot \vec{E}_L^+(\vec{R}) \tilde{\sigma}_{ge} - \tilde{\sigma}_{eg} \hat{d}^- \cdot \vec{E}_L^-(\vec{R}) \right] \quad (2.48)$$

$$\dot{\sigma}_{gg} = P_g S(\vec{S}) P_g + \frac{i}{\hbar} \left[\frac{\vec{p}^2}{2m}, \sigma_{gg} \right] - \frac{i}{\hbar} \left[\hat{d}^- \cdot \vec{E}_L^-(\vec{R}) \tilde{\sigma}_{eg} - \tilde{\sigma}_{ge} \hat{d}^+ \cdot \vec{E}_L^+(\vec{R}) \right] \quad (2.49)$$

Remarque

Nous mentionnons ici juste pour mémoire les équations de Bloch-Langervin obtenues en écrivant les équations de Heisenberg pour les opérateurs atomiques $|a, \vec{p}'\rangle \langle b, \vec{p}''|$ avec $a, b = g_A$ ou c_m , et en utilisant (2.16) pour exprimer l'opérateur champ qui apparaît dans V_{AV} . En choisissant l'ordre normal dans V_{AV} , on peut montrer que les termes provenant du champ source donnent naissance aux termes d'amortissement par émission spontanée étudiés plus haut, alors que les termes provenant du champ du vide donnent naissance à des forces de Langervin [voir Ref. 3, complément AV où cette démonstration est exposée dans le cas où les degrés de liberté externes sont traités classiquement]. L'intérêt des équations de Bloch-Langervin est qu'elles permettent de démontrer le théorème de régénération quantique qui explique comment calculer les fonctions de correlations atomiques (moyennes à 2 temps) à partir des équations de Bloch optiques (eventuellement généralisées) qui décrivent l'évolution des moyennes à 1 temps.

5. Nouvelles approximations adaptées aux nouveaux mécanismes

Le fait d'avoir inclus l'existence de plusieurs sous-mécanismes dans ϵ et g complexifie sensiblement les équations d'évolution de σ , et leur résolution semble beaucoup plus difficile. Il est possible néanmoins d'introduire de nouvelles approximations adaptées aux nouveaux mécanismes et de retrouver des équations simples permettant de dégager des images physiques fructueuses.

a - Faibles intensités

Les nouveaux mécanismes reposent sur l'existence de temps internes qui deviennent longs à faible intensité, comme le temps de pompage optique τ_p entre sous niveaux Zeeman de g .

Le régime intéressant est donc celui des faibles intensités. On peut alors éliminer adiabatiquement les cohérences optiques δ_{gg} et l'état excité $|ee\rangle$ des équations et obtenir des équations plus simples qui ne font plus intervenir que δ_{gg} et qui sont interprétable en termes d'hamiltonien effectif associé aux déplacements lumineux et de taux de pompage optique.

De même la force moyenne peut être exprimée entièrement en fonction de δ_{gg} et des réponses réactive et dissipative de l'atome.

b - Très faibles vitesses

Les nouveaux mécanismes conduisent à des températures très basses, où les vitesses sont très faibles. La dépendance en vitesse des forces radiatives est caractérisée, non plus par le paramètre kV/Γ , comme c'est le cas pour le refroidissement Doppler, mais par les paramètres kV/Γ' ou kV/δ' , où δ' et Γ' sont l'élargissement et le déplacement de l'état fondamental sous l'effet de la lumière (à faible vitesse $\Gamma', \delta' \ll \Gamma$). Dans l'élimination adiabatique des cohérences optiques, qui sont amorties avec un taux $\Gamma/2$, on peut donc négliger l'effet de l'hamiltonien $\vec{P}^2/2M$, ce qui revient à faire un calcul à l'ordre 0 en kV/Γ .

c - De nouvelles approches

En plus des simplifications précédentes, le fait d'avoir des très faibles intensités permet d'envisager des calculs perturbatifs, par exemple des amplitudes de diffusions des photons incident par l'atome, dans lesquels on peut suivre le pas à pas, non seulement sur l'atome (comme c'est le cas quand on travaille sur la seule matrice densité atomique), mais également sur le photon incident. On peut également, dans ce cas, étudier l'importance des corrélations qui s'établissent entre l'atome et le photon. Ce point sera crucial pour comprendre les échanges d'impulsion entre atome et champs aux nœuds d'une onde stationnaire.

Références

- (1) J.P. Gordon and A. Ashkin, Phys. Rev. A 21, 1606 (1980)
- (2) J. Dalibard and C. Cohen-Tannoudji, J. Phys. B 18, 1661 (1985)
- (3) Processus d'interaction entre photons et atomes - Référence (2) du cours I
- (4) C. Cohen-Tannoudji in Les Houches XXVII, 1975 - Frontiers in Laser Spectroscopy, R. Balian, S. Haroche and S. Liberman eds (North Holland, 1977)
- (5) S. Stenholm, Appl. Phys. 15, 287 (1978)
- (6) Y. Castin, H. Wallis and J. Dalibard, J.O.S.A. B 6, 2046 (1989)
- (7) A. Aspect, E. Arimondo, R. Kaiser, N. Van Kampen and C. Cohen-Tannoudji, J.O.S.A. B 6, 2112 (1989)

Appendice : Exemple simple de calcul de coefficient de diffusion (II-9)
Atome à 2 niveaux à un nœud d'une onde stationnaire

Notations

$$\vec{E}_L(x,t) = \vec{e}_3 E_0 \sin k_L x \cos \omega_L t \quad (2.50)$$

$$\vec{d} = \vec{e}_3 d (\hat{d}^+ + \hat{d}^-) \quad \hat{d}^+ = |e\rangle \langle g| \quad \hat{d}^- = |g\rangle \langle e| \quad (2.51)$$

d : élément de matrice du dipôle qui a la même polarisation, \vec{e}_3 , que celle de l'onde stationnaire laser.

$$E_{Li}^+(x) = \delta_{i3} \frac{1}{2} E_0 \sin k_L x = E_{Li}^-(x) \quad (2.52)$$

$$\text{On pose } d E_0 = \hbar \omega_L, \quad (2.53)$$

ω_L est la fréquence de Rabi aux vertes

$$\Delta = \frac{\omega_L^2 / 2}{\delta^2 + \frac{\Gamma^2}{4}} \quad (2.54)$$

δ est le paramètre de saturation aux vertes. $\delta = 4 s_0$ où s_0 est le paramètre de saturation associé à chacune des 2 ondes planes progressives formant l'onde stationnaire.

Calcul de Dvide et Dlaser

- Au voisinage d'un nœud, on peut négliger la fluorescence $\rightarrow D_{\text{vide}} \approx 0$
- D'après (2.52), au voisinage d'un nœud, par exemple en $x=0$

$$\vec{\nabla} E_{Li}^\pm = \delta_{i3} \frac{1}{2} k_L E_0 \vec{e}_x \quad (2.55)$$

Si l'on reporte (2.55) dans (2.25), on obtient, compte tenu de (2.51) et (2.53),

$$\langle \delta F_{\text{laser}}(t) \cdot \delta F_{\text{laser}}(t-\tau) \rangle = \hbar^2 k_L^2 \left(\frac{\omega_L}{2}\right)^2 \left[\langle \delta \hat{d}^-(t) \delta \hat{d}^+(t-\tau) e^{i\omega_L \tau} + \langle \delta \hat{d}^+(t) \delta \hat{d}^-(t-\tau) \rangle e^{-i\omega_L \tau} \rangle \right] \quad (2.56)$$

- Calcul des fonctions de correlations du dipôle atomique

D'après le théorème de régression quantique, pour $t > t'$, $\langle \delta \hat{d}^-(t) \delta \hat{d}^+(t') \rangle$ obéit à une équation analogue à celle de $\langle \delta \hat{d}^-(t) \rangle$. Or $\langle \hat{d}^- \rangle = \sigma_{eg}$ et au voisinage d'un nœud, où $\vec{E}_L = \vec{0}$, $\dot{\sigma}_{eg} = -(i\omega_A + \frac{\Gamma}{2}) \sigma_{eg}$. Donc

$$\frac{d}{dt} \langle \delta \hat{d}^-(t) \delta \hat{d}^+(t') \rangle = -\left(i\omega_A + \frac{\Gamma}{2}\right) \langle \delta \hat{d}^-(t) \delta \hat{d}^+(t') \rangle \quad (2.57)$$

On en déduit que, pour $x \approx 0$ et $t > t'$

$$\langle \delta \hat{d}^-(t) \delta \hat{d}^+(t') \rangle = e^{-i\omega_A \tau} e^{-\frac{\Gamma}{2} \tau} \underbrace{\langle \delta \hat{d}^-(t') \delta \hat{d}^+(t') \rangle}_{= \sigma_{gg}(t')} = e^{-i\omega_A \tau} e^{-\frac{\Gamma}{2} \tau} \sigma_{gg}(t') - \langle d^+ \rangle^2 / 2 \quad (2.58)$$

puisque, à un nœud où $\vec{E}_L = \vec{0}$, $\sigma_{gg} = 1$ et $\langle d^+ \rangle = 0$. Un calcul analogue donne

$$\langle \delta \hat{d}^+(t) \delta \hat{d}^-(t-\tau) \rangle = 0 \quad (2.59)$$

(en effet, cette fonction de corrélation est proportionnelle à $\langle \sigma_{ee}(t-\tau) - \langle d^-(t-\tau) \rangle^2 \rangle$ qui est nul à un nœud)

- Finalement, pour $\tau > 0$ et $x \approx 0$

$$\langle \delta F_{\text{laser}}(t) \cdot \delta F_{\text{laser}}(t-\tau) \rangle = \hbar^2 k_L^2 \left(\frac{\omega_L}{2}\right)^2 e^{+i(\omega_L - \omega_A)\tau} e^{-\frac{\Gamma}{2} \tau} \quad (2.60)$$

- Reportons alors (2.60) dans (2.31). Il vient

$$\begin{aligned} D_{\text{laser}} &= \hbar^2 k_L^2 \left(\frac{\omega_L}{2}\right)^2 \operatorname{Re} \int_0^\infty dt e^{i\delta\tau} e^{-\frac{\Gamma}{2}\tau} = \hbar^2 k_L^2 \Gamma \frac{\omega_L^2 / 8}{\delta^2 + \frac{\Gamma^2}{4}} \\ &= \hbar^2 k_L^2 \Gamma \frac{\Delta}{4} = \hbar^2 k_L^2 \Gamma s_0 \end{aligned} \quad (2.61)$$

qui est aussi le coefficient de diffusion global puisque en $x=0$, $D_{\text{vide}}=0$.

- Résultat intriguant : En $x=0$, il n'y a pas d'absorption de lumière et pourtant l'impulsion de l'atome fluctue puisque $D \neq 0$!

Buts de ce chapitre: Etudier la forme et le contenu physique des équations générales introduites dans le cours II, à la limite des faibles intensités et faibles vitesses, qui est celle où les nouveaux mécanismes de refroidissement laser sont les plus efficaces.

1 - Elimination adiabatique des cohérences optiques

a. Approximations

Faibles intensités

- A faible intensité, des constantes de temps longues, de l'ordre du temps de pompage T_p (ou de $1/\delta'$), apparaissent dans l'évolution de $\tilde{\rho}_{gg}$, beaucoup plus longues que le temps $\tau_R = 1/\Gamma$ caractérisant l'amortissement de $\tilde{\rho}_{eg}$ et $\tilde{\rho}_{ee}$. Dans l'évolution couplée de $\tilde{\rho}_{ee}$, $\tilde{\rho}_{gg}$, $\tilde{\rho}_{eg}$, c'est la variable lente $\tilde{\rho}_{gg}$ qui va imposer sa vitesse de variation à toutes les autres, de sorte que $\tilde{\rho}_{eg}$ sera de l'ordre de $\tilde{\rho}_{eg}/T_p$, qui est beaucoup plus petit que $\Gamma \tilde{\rho}_{eg}/2 = \tilde{\rho}_{eg}/2\tau_R$. Il en est de même pour $\tilde{\rho}_{ee}$ qui est négligeable devant $\tilde{\rho}_{ee}$.
Dans les équations (2.42) et (2.47), on peut donc négliger $\tilde{\rho}_{eg}$ devant $-\Gamma \tilde{\rho}_{eg}/2$ et remplacer le membre de gauche des 2 équations par 0.

- A faible intensité, $\tilde{\rho}_{gg}$ est d'ordre 0 en champ laser \vec{E}_L^+ . D'après (2.42) et (2.47), $\tilde{\rho}_{eg}$ est alors au moins d'ordre 1, et d'après (2.43) et (2.48), $\tilde{\rho}_{ee}$ est au moins d'ordre 2. Le dernier terme de (2.42) et (2.47), qui fait intervenir le produit de $\tilde{\rho}_{ee}$ par \vec{E}_L^+ est donc au moins d'ordre 3. Si on se limite à l'ordre 2, on peut donc négliger ce dernier terme.

Faibles vitesses

- Si les degrés de liberté externes sont traités classiquement, \vec{r} est remplacé par $\vec{r}_0 + \vec{v}_0 t$ dans (2.42) et (2.43). Dans le calcul de $\tilde{\rho}_{eg}$ et $\tilde{\rho}_{ee}$, des termes supplémentaires apparaissent à cause de cette dépendance temporelle de \vec{r} . Ils sont de l'ordre de $\vec{v}_0 \cdot \vec{\nabla} \tilde{\rho}_{eg} \approx k v_0 \tilde{\rho}_{eg}$ et $\vec{v}_0 \cdot \vec{\nabla} \tilde{\rho}_{ee} \approx k v_0 \tilde{\rho}_{ee}$. Si on fait un calcul à l'ordre 0 en $k v_0 / \Gamma$, on peut négliger ces termes devant $-\Gamma \tilde{\rho}_{eg}/2$ et $-\Gamma \tilde{\rho}_{ee}$.

En procédant ainsi, on perd bien sûr le mécanisme de refroidissement Doppler dans une molécule optique. Mais on s'intéresse ici aux nouveaux mécanismes de refroidissement laser qui apparaissent à des vitesses beaucoup plus faibles que le refroidissement Doppler (effets en $k v_0 / \delta'$ ou $k v_0 / \delta''$).

Notons enfin qu'il n'est pas question de négliger la dépendance temporelle de \vec{r} dans l'équation donnant $\tilde{\rho}_{gg}$, car nous verrons plus loin que les termes de droite de (2.44) sont de l'ordre de $\delta' \tilde{\rho}_{gg}$ et $\delta'' \tilde{\rho}_{gg}$ qui ne sont pas nécessairement grands devant $k v_0 \tilde{\rho}_{gg}$.

- Si les degrés de liberté externes sont traités quantiquement, il suffit de noter que les termes provenant de $[\vec{P}^2/2M, \vec{\sigma}] / i\hbar$ deviennent, en représentation de Wigner, égaux à $(\vec{P}/M) \cdot \vec{\nabla} w \approx (k p/M) w \approx k v w$. Comme précédemment, ces termes sont négligeables devant ceux décrivant l'amortissement par émission spontanée pour $\tilde{\rho}_{eg}$ et $\tilde{\rho}_{ee}$ (à l'ordre 0 en $k v / \Gamma$). On peut donc, dans un calcul à l'ordre 0 en $k v / \Gamma$, négliger les commutateurs avec $\vec{P}^2/2M$ dans (2.47) et (2.48), mais non dans (2.44).

b - Expression des cohérences optiques en fonction de $\tilde{\sigma}_{gg}$

III - 2

- Compte tenu des approximations précédentes, (2.37) donne

$$\tilde{\sigma}_{eg} = \frac{1}{\hbar} \frac{1}{\delta + i \frac{\Gamma}{2}} \vec{d}^+ \cdot \vec{E}_L^+(\vec{R}) \tilde{\sigma}_{gg} \quad (3.1.a)$$

et par suite, en prenant l'adjoint

$$\tilde{\sigma}_{ge} = \frac{1}{\hbar} \frac{1}{\delta - i \frac{\Gamma}{2}} \tilde{\sigma}_{gg} \vec{d}^- \cdot \vec{E}_L^-(\vec{R}) \quad (3.1.b)$$

- Dans (3.1.a) et (3.1.b), les degrés de liberté externes sont traités quantiquement. A la limite semi-classique, il suffit de remplacer \vec{R} par $\vec{r} = \vec{r}_0 + \vec{v}_0 t$.

2 - Nouvelle expression pour la force moyenne à la limite semi-classique

a - Valeur moyenne du dipôle atomique

- $\langle \vec{d} \rangle = \text{Tr} \{ \vec{d}^- \cdot \tilde{\sigma}_{eg} + \tilde{\sigma}_{ge} \vec{d}^+ \}$

$$= \text{Tr} \{ \vec{d}^- \tilde{\sigma}_{eg} \} e^{-i\omega_L t} + \text{Tr} \{ \tilde{\sigma}_{ge} \vec{d}^+ \} e^{i\omega_L t} = \langle \vec{d}^-(t) \rangle + \langle \vec{d}^+(t) \rangle \quad (3.2)$$

- Le report de (3.1) dans (3.2) donne (après avoir remplacé \vec{R} par $\vec{r} = \vec{r}_0 + \vec{v}_0 t$)

$$\langle \vec{d}^-(t) \rangle = - \frac{1}{\hbar} \frac{1}{\delta + i \frac{\Gamma}{2}} \text{Tr} \{ \vec{d}^- \vec{d}^+ \cdot \vec{E}_L^+(\vec{r}) \tilde{\sigma}_{gg} \} e^{-i\omega_L t} \quad (3.3.a)$$

$$\langle \vec{d}^+(t) \rangle = - \frac{1}{\hbar} \frac{1}{\delta - i \frac{\Gamma}{2}} \text{Tr} \{ \vec{d}^- \cdot \vec{E}_L^-(\vec{r}) \vec{d}^+ \tilde{\sigma}_{gg} \} e^{+i\omega_L t} \quad (3.3.b)$$

On pourrait aisément, à partir de ces expressions, calculer le tenseur de susceptibilité linéaire reliant $\langle \vec{d}^- \rangle$ à \vec{E}^+ , ou $\langle \vec{d}^+ \rangle$ à \vec{E}^- .

b - Expression de la force moyenne en fonction de $\tilde{\sigma}_{gg}$

- En reportant (3.3) dans (2.22), on obtient

$$\begin{aligned} \vec{F}(\vec{r}, t) &= - \frac{1}{\hbar} \frac{1}{\delta - i \frac{\Gamma}{2}} \sum_{\substack{i,j \\ =x,y,z}} \text{Tr} \{ d_i^- d_j^+ \tilde{\sigma}_{gg} \} E_{Li}^-(\vec{r}) (\vec{\nabla} E_{Lj}^+(\vec{r})) \\ &\quad - \frac{1}{\hbar} \frac{1}{\delta + i \frac{\Gamma}{2}} \sum_{\substack{i,j \\ =x,y,z}} \text{Tr} \{ d_i^- d_j^+ \tilde{\sigma}_{gg} \} E_{Lj}^+(\vec{r}) (\vec{\nabla} E_{Li}^-(\vec{r})) \end{aligned} \quad (3.4)$$

- Nous reviendrons, dans un chapitre ultérieur, sur l'interprétation physique de cette expression et nous la recrirons sous une forme plus suggestive. Il nous faut cependant identifier un certain nombre de grandeurs physiques régissant l'évolution de l'état fondamental.

3 - Matrice densité décrivant l'état des atomes excités dans e

a - Expression de $\tilde{\sigma}_{ee}$ en fonction de $\tilde{\sigma}_{gg}$

- Dans l'équation (2.48) donnant $\tilde{\sigma}_{ee}$, on peut, comme nous l'avons expliqué ci-dessus (§.1), négliger $\tilde{\sigma}_{ee}$ dans le membre de gauche et le commutateur avec $P^2/2m$ dans le membre de droite. On obtient alors une équation donnant $\tilde{\sigma}_{ee}$ en fonction de $\tilde{\sigma}_{eg}$ et $\tilde{\sigma}_{ge}$

$$\tilde{\sigma}_{ee} = - \frac{1}{\hbar} \frac{1}{i\hbar} [\vec{d}^+ \cdot \vec{E}_L^+(\vec{R}) \tilde{\sigma}_{ge} - \tilde{\sigma}_{eg} \vec{d}^- \cdot \vec{E}_L^-(\vec{R})] \quad (3.5)$$

Il suffit alors de remplacer $\tilde{\sigma}_{eg}$ et $\tilde{\sigma}_{ge}$ par leurs expressions (3.1) données plus haut en fonction de $\tilde{\sigma}_{gg}$ pour obtenir l'équation

$$\Omega_{ee} = \frac{1}{\hbar^2} \frac{1}{\delta^2 + \frac{P^2}{4}} \vec{J}^+ \vec{E}_L^+(\vec{R}) \Omega_{gg} \vec{J}^- \vec{E}_L^-(\vec{R}) \quad (3.6)$$

qui donne Ω_{ee} en fonction de Ω_{gg}

- Dans (3.6) les degrés de liberté externes sont traités quantiquement. A la limite semi-classique, il suffit de remplacer \vec{R} par $\vec{r} = \vec{r}_0 + \vec{v}_0 t$
- L'équation (3.6) montre que si l'état fondamental est pur, c.-à-d si

$$\Omega_{gg} = |\Psi_g\rangle \langle \Psi_g| \quad (3.7)$$

($|\Psi_g\rangle$ dépend également des degrés de liberté externes), alors l'état excité est aussi pur : $\Omega_{ee} = |\Psi_e\rangle \langle \Psi_e|$ avec

$$|\Psi_e\rangle \text{ proportionnel à } \vec{J}^+ \vec{E}_L^+(\vec{R}) |\Psi_g\rangle \quad (3.8)$$

b - Etude plus détaillée d'un exemple concret : atome à 2 niveaux à un noyau d'une onde stationnaire

Buts de ce calcul

- Les notations sont les mêmes que dans l'appendice du cours II page II-9.

On place un atome à 2 niveaux, dans l'état fondamental, en $x=0$, c'est à dire à un noyau de l'onde stationnaire (2.50). Ses degrés de liberté externes sont traités quantiquement. L'état de son centre de masse est donc décrit par une fonction d'onde $\Psi_g(x)$, supposée réelle, centrée en $x=0$, paire, de largeur Δx

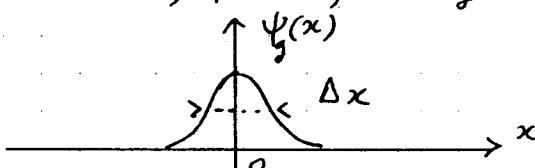


Fig. 1

On suppose également $\Delta x \ll \lambda_L$ (3.9)

L'atome est donc bien localisé au noyau.

- La transformée de Fourier $\Psi_g(p)$ de $\Psi_g(x)$ est elle aussi paire, centrée en $p=0$ et de largeur $\Delta p \sim \hbar / \Delta x$. La condition (3.9) entraîne que

$$\Delta p \gg \hbar / k_L \quad (3.10)$$

- Comme Δx n'est pas strictement nul, l'atome peut absorber des photons et monter dans e . Dans ce qui suit, on essaie, à partir de (3.8) de comprendre comment varie la variance $\langle P^2 \rangle$ de P quand un atome passe de g à e .

Fonction d'onde des atomes excités

- L'équation (3.6) donne, compte tenu de (2.50), (2.51), (2.52), (2.53), (2.54)

$$\begin{aligned} \Omega_{ee} &= \frac{1}{\hbar^2} \frac{1}{\delta^2 + \frac{P^2}{4}} \left(\frac{1}{2} \vec{J}^+ \vec{E}_0 \right)^2 |\Psi_e\rangle \langle \Psi_e| \\ &= \frac{s}{2} |\Psi_e\rangle \langle \Psi_e| \end{aligned} \quad (3.11)$$

où la fonction d'onde $\Psi_e(x)$ associé à $|\Psi_e\rangle$ s'écrit

$$\Psi_e(x) = \sin k_L x \Psi_g(x) \approx k_L x \Psi_g(x) \quad (3.12)$$

Dans (3.11), s est le paramètre de saturation aux vents de l'onde stationnaire : $s = 4s_0$ où s_0 est le paramètre de saturation de chaque des 2 ondes progressives formant l'onde stationnaire.

- Les équations (3.11) et (3.12) montrent que les atomes qui sont dans l'état excité ont leur centre de masse décent par une fonction d'onde ayant une forme très différente (voir Fig. 2) de celle des atomes restés dans l'état fondamental (produit par x d'une fonction paire en x)

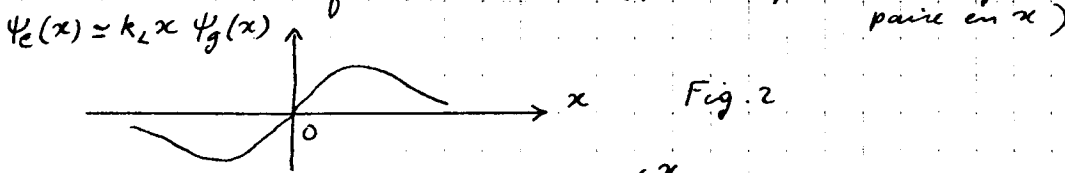


Fig. 2

Ceci ne serait plus vrai en tout autre point (x_0) de l'onde stationnaire. On aurait alors $\Psi_e(x) = \sin k_e x \Psi_g(x)$. Si $\sin k_e x_0 \neq 0$, la forme de $\Psi_e(x)$ est très voisine de celle de $\Psi_g(x)$ puisque $\sin k_e x$ varie peu sur la longueur Δx de $\Psi_g(x)$.

Proportion d'atome excités : Π_e

- Cette proportion est donnée par la trace de σ_e

$$\Pi_e = \text{Tr } \sigma_e = \frac{1}{2} \langle \Psi_e | \Psi_e \rangle \approx \frac{1}{2} \langle \Psi_g | k_e^2 X^2 | \Psi_g \rangle \quad (3.13)$$

- Cette proportion est faible, non seulement parce que $\delta \ll 1$ (faibles intensités), mais parce que $\langle \Psi_g | k_e^2 X^2 | \Psi_g \rangle \approx k_e^2 \Delta x^2 \approx \frac{\Delta x^2}{\lambda_e^2} \ll 1$. C'est uniquement parce que la fonction d'onde Ψ_g centrée en $x=0$ n'a pas une largeur nulle que l'atome peut "voir" un champ non nul, dont l'intensité est de l'ordre de $(\Delta x/\lambda_e)^2$, et par suite être excité.

- Prenons pour fixer les idées une fonction d'onde Ψ_g gaussienne

$$\Psi_g(x) = \left(\frac{1}{\pi a^2}\right)^{1/4} e^{-x^2/2a^2} \quad (3.14)$$

a est la largeur à $1/e$ de $|\Psi_g(x)|^2$. Un calcul élémentaire donne

$$\Pi_e = \frac{1}{2} k_e^2 \langle X^2 \rangle = \frac{1}{4} k_e^2 a^2 \quad (3.15)$$

Contribution des atomes excités à la variance d'impulsion

- $\Delta P^2 = \langle P^2 \rangle - \langle P \rangle^2 = \langle P^2 \rangle$ puisque $\langle P \rangle = 0$ (3.16)
- Calcul de $\langle P^2 \rangle_e$ dans l'état excité. D'après (3.11)

$$\langle P^2 \rangle_e = \text{Tr } \sigma_{ee} P^2 = \frac{1}{2} k_e^2 \langle \Psi_g | X P^2 X | \Psi_g \rangle \quad (3.17)$$

Si l'on prend la fonction d'onde (3.14), l'élément de matrice de (3.17) peut être aisement calculé en représentation x . On trouve alors

$$\langle P^2 \rangle_e = \frac{3}{8} \delta \hbar^2 k_e^2 \quad (3.18)$$

- Calcul de $\langle P^2 \rangle$ pour un atome excité $\langle P^2 \rangle_{\text{atome excité}}$.

(3.17) et (3.18) donnent la contribution totale de l'état excité qui contient une proportion Π_e d'atome excité. Par atome, on a donc

$$\langle P^2 \rangle_{\text{atome excité}} = \frac{\langle P^2 \rangle_e}{\Pi_e} = \frac{\langle \Psi_g | X P^2 X | \Psi_g \rangle}{\langle \Psi_g | X^2 | \Psi_g \rangle} \quad (3.19)$$

On a utilisé (3.17) et (3.13). Pour la fonction d'onde gaussienne (3.14), on obtient, compte tenu de (3.18) et (3.15)

$$\langle P^2 \rangle_{\text{atome excité}} = \frac{3}{2} \frac{\hbar^2}{a^2} \quad (3.20)$$

Variation de $\langle P^2 \rangle$ par atome quand on passe de $g \rightarrow e$

- la proportion d'atome dans g est pratiquement égale à 1 : $n_g = 1$.

On a donc

$$\langle P^2 \rangle_{\text{atome fondamental}} = \frac{\langle \Psi_g | P^2 | \Psi_g \rangle}{n_g} \simeq \langle \Psi_g | P^2 | \Psi_g \rangle \quad (3.21)$$

qui est égal pour la fonction d'onde gaussienne (3.14) à

$$\langle P^2 \rangle_{\text{atome fondamental}} = \frac{\hbar^2}{2a^2} \quad (3.22)$$

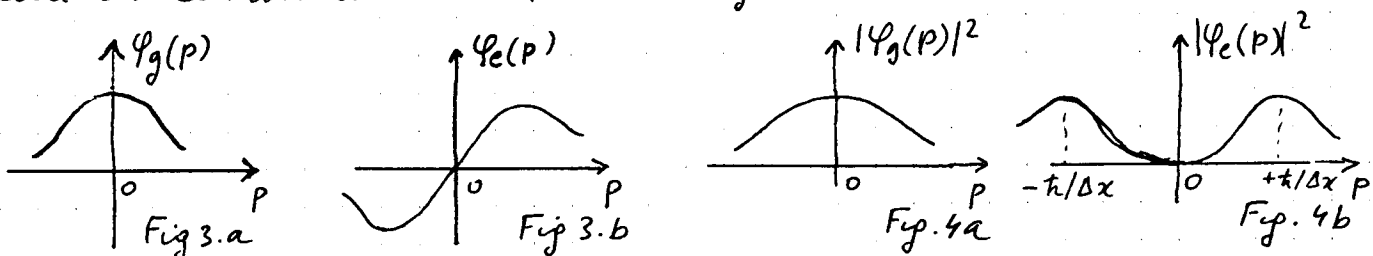
- En comparant (3.22) à (3.20), on voit alors que, en moyenne, quand un atome passe de $g \rightarrow e$, la variation de $\langle P^2 \rangle$ vaut

$$\langle P^2 \rangle_{\text{atome excité}} - \langle P^2 \rangle_{\text{atome fondamental}} = \frac{\hbar^2}{a^2} \quad (3.23)$$

Cette variation de $\langle P^2 \rangle$ est beaucoup plus grande que $\hbar^2 k_L^2$ d'après (3.10), et devient de plus en plus grande quand $a \rightarrow 0$. Ce résultat peut paraître étrange. Lorsque l'atome absorbe un photon dans une onde stationnaire, son impulsion ne peut augmenter que de $+\hbar k_L$ ou $-\hbar k_L$. Comment son $\langle P^2 \rangle$ peut-il augmenter de beaucoup plus que $\hbar^2 k_L^2$?

Etude du même phénomène en représentation p

- Comme $|\Psi_e\rangle \sim X |\Psi_g\rangle$ d'après (3.12) et que l'opérateur X en représentation p est $-\frac{i}{\hbar} \frac{d}{dp}$, on voit que si $\Psi_g(p)$ est la fonction d'onde des atomes dans g en représentation p , celle des atomes excités est $\Psi_e(p) \sim i\hbar \frac{d\Psi_g(p)}{dp}$. Les figures 3a et 3b donnent l'allure de $\Psi_g(p)$ et $\Psi_e(p)$. Les figures 4a et 4b celle des distributions d'impulsion $|\Psi_g(p)|^2$ et $|\Psi_e(p)|^2$.



- On voit que, comme en représentation x , les fonctions d'onde diffèrent notablement dans g et e .

En particulier, la distribution d'impulsion dans e a un "trou" en $p=0$ et 2 "bosses" centrées au voisinage de $\pm \hbar/\Delta x$. Si on prend des distributions normalisées à 1, on constate bien que la distribution de la figure 4.b conduise à un $\langle P^2 \rangle$ plus grand que celui de la figure 4.a par une quantité de l'ordre de $\hbar^2/\Delta x^2$.

Interférences et filtrage

- Le trou en $p=0$ de la figure 4.b résulte d'un effet d'interférence.

- Pour le voir, rappelons tout d'abord qu'une onde stationnaire en $\sin k_L x$ est une superposition de 2 ondes planes $e^{ik_L x}$ et $e^{-ik_L x}$ interférant avec un signe -

$$\sin k_L x = \frac{1}{2i} [e^{ik_L x} - e^{-ik_L x}] \quad (3.24)$$

Pour arriver dans l'état $|e, p\rangle$ (atome dans l'état excité e avec une impulsion p), l'atome peut partir de l'état $|g, p-t\hbar k\rangle$, dans lequel il a une amplitude $\Psi_g(p-t\hbar k)$ de se trouver, et absorber un photon $e^{ik_x x}$, qui a une amplitude $1/2i$ de se trouver dans l'onde stationnaire (Fig. 5a). Il peut également partir de $|g, p+t\hbar k\rangle$ (amplitude $\Psi_g(p+t\hbar k)$) et absorber un photon $e^{-ik_x x}$ (amplitude $-1/2i$) (Fig. 5b)

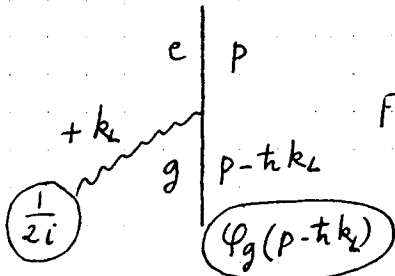


Fig. 5a

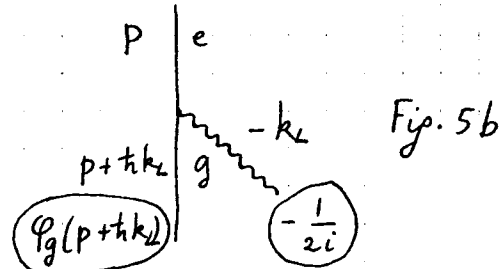


Fig. 5b

- les 2 chemins de la figure 5 aboutissent au même état final. Comme le système global "atome + photon" a une amplitude non nulle de se trouver dans chacun des 2 états initiaux, les 2 chemins peuvent interférer, et l'amplitude d'exciter l'atome dans l'état e avec une impulsion p est proportionnelle à

$$\frac{1}{2i} [\Psi_g(p-t\hbar k) - \Psi_g(p+t\hbar k)] \simeq i\hbar k_x \frac{d}{dp} \Psi_g(p) \quad (3.25)$$

On retrouve bien que l'amplitude d'avoir un atome excité d'impulsions p est proportionnelle à $d\Psi_g(p)/dp$.

- Si $\Psi_g(p)$ était indépendant de p , c'est à dire si $\Psi_g(x)$ était proportionnel à $\delta(x)$, l'interférence entre les 2 amplitudes de figures 5a et 5b serait parfaitement destructive, quel que soit p , ce qui correspond bien à l'impossibilité d'exciter un atome parfaitement localisé à un nœud. Par contre, si $\Psi_g(x)$ et $\Psi_g(p)$ ont une certaine largeur, on voit que l'interférence, parfaitement destructive au voisinage de $p=0$, ne l'est plus quand on s'écarte de $p=0$, à cause du fait que $\Psi_g(p-t\hbar k)$ et $\Psi_g(p+t\hbar k)$ deviennent différents, l'excitation étant maximale au voisinage des points d'inflexion de la courbe donnant $\Psi_g(p)$.

Ainsi, si $\langle P^2 \rangle$ est beaucoup plus grand pour un atome excité que pour un atome dans l'état fondamental, c'est parce que l'interférence entre les 2 amplitudes possibles d'excitations filtre le atome d'après leur impulsion initiale et empêche les atomes de p faible d'être excité. Ne peuvent être excités que les atomes d'impulsion suffisamment grande, de l'ordre de $\hbar/\Delta x$. C'est parce qu'il y a une corrélation importante entre l'impulsion initiale de l'atome et sa probabilité d'excitation que $\langle P^2 \rangle$ varie de beaucoup plus que $t\hbar^2 k_x^2$ quand l'atome passe de g à e . Il n'y a aucune violation de la conservation de l'impulsion lors des processus d'absorption, comme cela apparaît clairement sur les figures 5.

- L'augmentation spectaculaire de $\langle P^2 \rangle$ discutée ici rappelle l'augmentation spectaculaire de $\langle J_z \rangle$ lorsqu'une molécule passe d'un état J à un état $J+1$ par absorption d'un photon δ^+ . La probabilité de transition $J, M \rightarrow J+1, M+1$ croît très vite avec M . Voir J. Vigné, N. Billy, B. Giard et G. Gouédard, C.R. Acad. Sci. à paraître. Voir aussi mêmes auteurs Phys. Rev. Lett. 62, 1358 (1989).

Limite des faibles intensités et faibles vitesses
Pompage optique et déplacements lumineux (suite)

4. Évolutions de l'état fondamental à la limite semi-classique

a) Équation d'évolution de $\hat{\sigma}_{gg}$

- Dans (2.44), on remplace $\hat{\sigma}_{gg}$ et $\hat{\sigma}_{ge}$ par leurs expressions approchées (3.1.a) et (3.1.b), \vec{R} étant remplacé par $\vec{r} = \vec{r}_0 + \vec{v}_0 t$, puisqu'on considère ici la limite semi-classique. On obtient ainsi

$$\begin{aligned}\dot{\hat{\sigma}}_{gg} &= P_g T(\sigma_{ee}) P_g + \\ &+ \frac{1}{i\hbar^2} \frac{1}{\delta + i\frac{\Gamma}{2}} (\vec{d} \cdot \vec{E}_L^-(\vec{r})) (\vec{d}^+ \vec{E}_L^+(\vec{r})) \hat{\sigma}_{gg} - \frac{1}{i\hbar} \frac{1}{\delta - i\frac{\Gamma}{2}} \hat{\sigma}_{gg} (\vec{d} \cdot \vec{E}_L^-(\vec{r})) (\vec{d}^+ \vec{E}_L^+(\vec{r}))\end{aligned}\quad (4.1)$$

La 1^{re} ligne décrit le repumpement de l'état fondamental à partir de l'état excité, σ_{ee} étant donné par (3.6) et les termes retournés par émission spontanée étant donnés en (2.36). La 2^{me} ligne de (4.1) décrit l'effet de l'excitation laser sur les atomes se trouvant dans l'état fondamental.

- Posons

$$\hbar G^+(\vec{r}) = \vec{d}^+ \cdot \vec{E}_L^+(\vec{r}) \quad \hbar G^-(\vec{r}) = \vec{d}^- \cdot \vec{E}_L^-(\vec{r}) = [\hbar G^+(\vec{r})]^+ \quad (4.2)$$

Si l'on sépare les parties réelle et imaginaire de $\pm \frac{1}{i\hbar^2} \frac{1}{\delta \pm i\frac{\Gamma}{2}}$ dans la 2^{me} ligne de (4.1) et que l'on utilise (4.2), on peut récrire (4.1) sous la forme

$$\begin{aligned}\dot{\hat{\sigma}}_{gg} &= P_g T(\sigma_{ee}) P_g \\ &- i \frac{\delta}{\delta^2 + \frac{\Gamma^2}{4}} [G^- G^+, \hat{\sigma}_{gg}] - \frac{\Gamma/2}{\delta^2 + \frac{\Gamma^2}{4}} \{G^- G^+, \hat{\sigma}_{gg}\}_+\end{aligned}\quad (4.3)$$

où $\{U, V\}_+ = UV + VU$. On voit apparaître ainsi la somme d'un commutateur et d'un anticommutateur de $\hat{\sigma}_{gg}$ avec l'opérateur $+$ qui est hermitique puisque

$$(G^- G^+)^+ = (G^+)^+ (G^-)^+ = G^- G^+ \quad (4.4)$$

Une telle structure de l'équation d'évolution de $\hat{\sigma}_{gg}$ dans les premières théories quantiques du cycle de pompage optique (Reff. 1, 2).

- Pour la suite, il sera utile d'introduire quelques notations.

- Posons

$$\vec{E}_L^+(\vec{r}) = \hat{E}(\vec{r}) E_L(\vec{r}) \quad \vec{E}^-(\vec{r}) = \hat{E}^*(\vec{r}) E_L(\vec{r}) = \vec{E}^+(\vec{r})^* \quad (4.5)$$

où \hat{E} est un vecteur polarisation normé, éventuellement complexe (pour décrire des polarisations circulaires ou elliptiques)

$$\hat{E}(\vec{r}) \cdot \hat{E}^*(\vec{r}) = 1 \quad (4.6)$$

et où $E_L(\vec{r})$ est réel et représente l'amplitude du champ

- L'opérateur \vec{d}^+ est un opérateur vectoriel. Les composantes standard \hat{E}_q, \vec{d}^+ de \vec{d}^+ où

$$\hat{E}_{+1} = -\frac{1}{\sqrt{2}} (\hat{E}_x + i\hat{E}_y) \quad \hat{E}_0 = \hat{E}_3 \quad \hat{E}_{-1} = \frac{1}{\sqrt{2}} (\hat{E}_x - i\hat{E}_y) \quad (4.7)$$

satisfont au théorème de Wigner-Eckart

$$\langle J_e, e_m | \hat{E}_g, \vec{d} | J_g, g_\mu \rangle = \mathcal{D} \langle J_e m | J_g 1 \mu q \rangle \quad (4.8) \quad | IV-2$$

où \mathcal{D} est un "élément de matrice réduit" indépendant de q , m, μ , et où $\langle J_e m | J_g 1 \mu q \rangle$ est un coefficient de Clebsch-Gordan.

On peut donc écrire $\vec{d}^+ = \mathcal{D} \hat{d}^+$ (4.9)

où \hat{d}^+ est un opérateur vectoriel sans dimensions, tel que les éléments de matrice de \hat{E}_g, \hat{d}^+ sont des coefficients de Clebsch-Gordan.

- A partir de \mathcal{D} et E_L , on peut introduire la fréquence de Rabi P_g

$$- \mathcal{D} E_L(\vec{r}) = \frac{\hbar \Omega_1(\vec{r})}{2} \quad (4.10)$$

et le paramètre de saturation δ

$$\delta(\vec{r}) = \frac{\Omega_1^2(\vec{r})/2}{\delta^2 + \frac{P_g^2}{4}} \quad (4.11)$$

de même que les quantités

$$\Gamma'(\vec{r}) = \Gamma \frac{\delta(\vec{r})}{2} \quad (4.12.a) \quad \delta'(\vec{r}) = \delta \frac{\delta(\vec{r})}{2} \quad (4.12.b)$$

- Introduisons enfin l'opérateur hermitique sans dimensions A

$$A(\vec{r}) = P_g \hat{E}^*(\vec{r}).\hat{d}^- P_e \hat{E}(\vec{r}).\hat{d}^+ P_g = P_g \hat{E}^*(\vec{r}).\hat{d}^- P_e \hat{E}(\vec{r}).\hat{d}^+ P_g \quad (4.13)$$

qui est proportionnel à $G^+ G^-$.

- Avec ces notations, l'équation (4.3) peut être réécrite

$$\dot{\sigma}_{gg} = P_g \delta(\sigma_{ee}) P_g - i \delta'(\vec{r}) [A(\vec{r}), \sigma_{gg}] - \frac{\Gamma'(\vec{r})}{2} \{ A(\vec{r}), \sigma_{gg} \} \quad (4.14)$$

Dans (4.14), σ_{ee} peut être ressuscité en fonction de σ_{gg} grâce à l'équation (3.6) qui s'écrit avec les nouvelles notations.

$$\begin{aligned} \sigma_{ee} &= \frac{1}{\delta^2 + \frac{P_g^2}{4}} G^+(\vec{r}) \sigma_{gg} G^-(\vec{r}) \\ &= \frac{\Gamma'(\vec{r})}{\Gamma} \hat{E}(\vec{r}).\hat{d}^+ \sigma_{gg} \hat{E}^*(\vec{r}).\hat{d}^- \end{aligned} \quad (4.15)$$

b. Hamiltonien effectif associé aux déplacements lumineux

- Le terme en δ' de (4.14) s'écrit (évolution hamiltonienne)

$$\frac{1}{i\hbar} [\mathbf{H}_{eff}, \sigma_{gg}] \quad \text{où} \quad \mathbf{H}_{eff} = \hbar \delta'(\vec{r}) \vec{A}(\vec{r}) \quad (4.16)$$

L'hamiltonien effectif H_{eff} décrit les effets réactifs de VAL.

(δ' varie avec δ comme une courbe de dispersion - voir 4.12.b et 4.10.)

- L'opérateur A est hermitique et a donc des valeurs propres réelles α_α et des vecteurs propres orthogonaux $|g_\alpha\rangle$

$$A |g_\alpha\rangle = \alpha_\alpha |g_\alpha\rangle \quad (4.17)$$

Les α_α et $|g_\alpha\rangle$ dépendent en général de \vec{r} , comme $\hat{E}(\vec{r})$. Chaque sous-niveau $|g_\alpha\rangle$ a un déplacement lumineux bien défini, $\hbar \delta'_\alpha$,

qui est proportionnel, comme $\delta(\vec{r})$, à l'intensité laser. Si tous les α_s sont différents, la dégénérescence Zeeman de g est complètement levée par l'irradiation laser :

- les opérateurs \hat{J}^+ et \hat{J}^- qui apparaissent dans l'expression (4.13) de A sont des opérateurs vectoriels. Comme A est un produit de 2 opérateurs vectoriels, sa décomposition en opérateurs tensoriels irréductibles $T_q^{(k)}$ fait apparaître seulement les valeurs $k=0$ (scalaire), $k=1$ (vecteur), $k=2$ (tenseur). Le terme $k=0$ correspond à un déplacement d'ensemble de g . Le terme $k=1$ a la même structure que celui qui serait associé à un champ magnétique fictif, le terme $k=2$ peut souvent être décrit en termes de champ électrique fictif. Si le moment angulaire J_g de g est $J_g = 1/2$, seules les valeurs $k=0$ et $k=1$ sont permises (théorème de Wigner-Eckart). Les symétries des champs fictifs associés aux déplacements lumineux sont déterminées par les symétries du vecteur polarisation $\hat{E}(\vec{r})$. Voir référence 5.

C - Relaxations associées au pompage optique

- Le dernier terme de (4.14) décrit comment l'état fondamental se vide sous l'effet de l'excitation. La contribution de ce dernier terme à la vitesse de variation de la population $\langle g_a | \sigma | g_a \rangle$ de l'état propre $|g_a\rangle$ de A est égale à

$$- \alpha_a \Gamma'(\vec{r}) \langle g_a | \sigma | g_a \rangle \quad (4.18)$$

Pour chaque état propre $|g_a\rangle$ de A , on peut donc définir une probabilité par unité de temps de quitter l'état $|g_a\rangle$, égale à $\alpha_a \Gamma'(\vec{r})$. Comme δ' , Γ' est proportionnel à l'intensité laser. Enfin, Γ' varie avec δ comme une courbe d'absorption, ce qui montre que les effets physiques décrits par Γ' sont des effets dissipatifs.

- Le 1^{er} terme de (4.14), décrit la retombée dans g des atomes qui ont absorbé un photon et dont l'état dans e est décrit par (4.15). En utilisant (4.15) et (2.36.a) on peut écrire ce terme sous la forme

$$P_g \mathcal{T}(\text{exc}) P_g = \Gamma'(\vec{r}) \sum_{q=+1,0,-1} (\hat{E}_q^* \cdot \hat{d}^-) (\hat{E}(\vec{r}) \cdot \hat{d}^+) \delta_{gg} (\hat{E}^*(\vec{r}) \cdot \hat{d}^-) (\hat{E}_q \cdot \hat{d}^+) \quad (4.19)$$

La combinaison de (4.19) et du dernier terme de (4.14) décrit la relaxation de l'état fondamental sous l'effet des processus d'absorption et d'émission spontanée de photons. Des différences de populations importantes peuvent apparaître entre les sous-niveaux Zeeman de g (pompage optique). Les éléments non diagonaux de δ_{gg} ("cohérents" Zeeman) peuvent, dans certains cas, varier de manière importante quand un champ magnétique statique est balayé autour de certaines valeurs (effet Hanle).

- On peut vérifier aisément que l'équation d'évolutions (4.14) conserve la trace de δ_{gg}

$$\frac{d}{dt} \text{Tr } \delta_{gg} = 0 \quad (4.20)$$

En utilisant l'invariance d'une trace dans une permutation circulaire et le fait que

$$\sum_q (\hat{E}_q \cdot \hat{d}^+) (\hat{E}_q^* \cdot \hat{d}^-) = \hat{d}^+ \cdot \hat{d}^- = P_e \quad (4.21)$$

(compte tenu de la relations de normalisation des coefficients de Clebsch-Gordan), on voit en effet que la trace du 1^{er} terme (4.19) vaut

$$\Gamma'(\vec{r}) \text{Tr} (\hat{E}^*(\vec{r}) \cdot \hat{d}^-) P_e (\hat{E}(\vec{r}) \cdot \hat{d}^+) \sigma_{gg} = \Gamma'(\vec{r}) \text{Tr} [A(\vec{r}) \sigma_{gg}] \quad (4.22)$$

et compense exactement la trace du dernier terme de (4.14), celle du 2^{me} terme, qui est un commutateur, étant automatiquement nulle.

d - Effet du déplacement de l'atome à la vitesse \vec{v}_e .

- Si l'atome se déplace à la vitesse, \vec{r} est égal à $\vec{r}_0 + \vec{v}_e t$ dans toutes les équations précédentes.

- En général la polarisation $\hat{E}(\vec{r})$ varie d'un point à l'autre, de même que l'intensité laser qui apparaît dans $S(\vec{r})$. L'atome est donc soumis à un pompage optique et à des déplacements lumineux qui varient en général dans le temps. Comme l'atome réagit à ces variations de l'excitation optique avec des constantes de temps longues, de l'ordre de $1/\Gamma'$, il répond avec un certain retard à ces variations temporelles. Nous analyserons plus loin l'importance d'un tel retard dans les nouveaux mécanismes de refroidissement laser.

5. Evolution de l'état fondamental. Traitement entièrement quantique

a) Cas général

- Les calculs sont très analogues à ceux du § 4 et ne seront pas repris. Les modifications sont les suivantes.

- Dans l'équation (4.14), il faut
 - rajouter au 2^{me} membre $[\vec{P}^2/2m, \sigma_{gg}]/i\hbar$
 - remplacer dans $S(\vec{r})$, $\Gamma'(\vec{r})$, $A(\vec{r})$, \vec{r} par l'opérateur \vec{R} et regrouper $S(\vec{r})$ et $A(\vec{r})$, $\Gamma'(\vec{r})$ et $A(\vec{r})$, de manière que dans le calcul du commutateur ou de l'anticommutateur l'ordre entre \vec{R} et σ_{gg} soit respecté.
 - utiliser pour $P_g S(\sigma_{ee}) P_g$ l'équation (2.45) au lieu de (2.36.a)

On obtient ainsi

$$\dot{\sigma}_{gg} = P_g S(\sigma_{ee}) P_g + \frac{i}{i\hbar} \left[\frac{\vec{P}^2}{2m}, \sigma_{gg} \right] - i \left[S(\vec{R}) A(\vec{R}), \sigma_{gg} \right] - \frac{1}{2} \left\{ \Gamma'(\vec{R}) A(\vec{R}), \sigma_{gg} \right\}_+ \quad (4.23)$$

- Dans la 1^{re} ligne de (4.15), il faut remplacer \vec{r} par \vec{R} ; dans la 2^{me}, il faut remplacer $\Gamma'(\vec{r})$ par $\sqrt{\Gamma'(\vec{R})}$ à droite et $\sqrt{\Gamma'(\vec{R})}$ à gauche.

$$\begin{aligned} \sigma_{ee} &= \frac{1}{S^2 + \frac{P^2}{m}} G^+(\vec{R}) \sigma_{gg} G^-(\vec{R}) \\ &= \frac{1}{\Gamma'} \sqrt{\Gamma'(\vec{R})} \hat{E}(\vec{R}) \cdot \hat{d}^+ \sigma_{gg} \hat{E}^*(\vec{R}) \cdot \hat{d}^- \sqrt{\Gamma'(\vec{R})} \end{aligned} \quad (4.24)$$

b) Etude plus détaillée d'un exemple concret : atome à 2 niveaux à un noyau d'une onde stationnaire

Buts du calcul

- A partir de l'équation d'évolution de $\hat{\sigma}_{gg}$, calculer $\frac{d}{dt} \langle P^2 \rangle$ et retrouver le résultat du cours II (page II-9) sur le coefficient de diffusion de l'impulsion.
- Compléter la discussion physique du § 3b ci-dessus, où l'on avait calculé σ_{ee}

$$\sigma_{ee} = \frac{s}{2} k_L X \cdot \hat{\sigma}_{gg} \cdot k_L X \quad (4.25)$$

et où l'on s'était intéressé à la variation de $\langle P^2 \rangle$ quand un atome passe de g à e .

Équations donnant $\hat{\sigma}_{gg}$

- Par rapport au cas général où g est dégénéré, $A(\vec{R})$ est ici un nombre indépendant de \vec{R} (comme $\hat{E}(\vec{R})$). $S'(\vec{R})$ et $\Gamma'(\vec{R})$ sont respectivement égaux à $s'k_L^2 X^2$ et $\Gamma'k_L^2 X^2$, où $s' = s\delta/2$ et $\Gamma' = \Gamma s/2$ sont respectivement le déplacement lumineux et le taux d'absorption aux vertes de l'onde stationnaire où le paramètre de saturation vaut s . Comme dans l'équation (4.25), on a remplacé au voisinage du noyau $\sin k_L X$ par $k_L X$.
- L'équation (4.23) devient alors

$$\dot{\hat{\sigma}}_{gg} = P_g \hat{\sigma}(e) P_g + \frac{1}{i\hbar} \left[\frac{P^2}{2m}, \hat{\sigma}_{gg} \right] - i s' [k_L^2 X^2, \hat{\sigma}_{gg}] - \frac{\Gamma'}{2} \{ k_L^2 X^2, \hat{\sigma}_{gg} \}_+ \quad (4.26)$$

- Dans l'état interne fondamental, les états externes qui ont un déplacement lumineux et un taux d'absorption bien définis sont les états propres de l'opérateur X^2 , donc les états propres $|x\rangle$ de l'opérateur position. Un atome dans l'état $|g, x\rangle$ a un déplacement lumineux $\hbar s'(x)$ et un taux d'absorption $\Gamma'(x)$ donnés par

$$s'(x) = s' k_L^2 x^2 \quad \Gamma'(x) = \Gamma' k_L^2 x^2 \quad (4.27)$$

Contribution à $d\langle P^2 \rangle/dt$ du terme d'énergie cinétique

Multiplication $[P^2/2M, \hat{\sigma}_{gg}]/i\hbar$ par P^2 et prenons la trace. En utilisant l'invariance de la trace d'un produit dans une permutation circulaire, on trouve un résultat nul.

Contribution à $d\langle P^2 \rangle/dt$ des atomes qui retombent de e à g

- C'est la contribution du 1^{er} terme de (4.26).
- Nous avons vu dans le § 3b ci-dessus qu'un atome passant de g à e augmente en moyenne son $\langle P^2 \rangle$ d'une quantité

de l'ordre de $\hbar^2/\Delta x^2$ (où $\Delta x = a$ est la largeur en x du paquet d'ondes), beaucoup plus grande que $\hbar^2 k_L^2$, et nous avons donné une interprétation physique de ce résultat. Quand l'atome retombe de l à g , il transfère à g cette augmentation de $\langle P^2 \rangle$. S'y ajoute la contribution des photons de fluorescence, qui n'étant pas corrélés avec l'impulsion de l'atome dans l , ajoutent à $\langle P^2 \rangle$ une contribution de l'ordre de $\hbar^2 k_L^2$ négligeable devant $\hbar^2/\Delta x^2$. On peut donc négliger l'impulsion des photons de fluorescence, ce qui revient simplement à écrire le 1^{er} terme de (4.26) sous la forme

$$\left(\frac{d}{dt} \sigma_{gg} \right)_{sp} = \Gamma \sigma_{ee} = \Gamma \frac{\delta}{2} k_L X \sigma_{gg} k_L X \quad (4.28)$$

où l'on a utilisé (4.25). En multipliant les 2 membres de (4.28) par P^2 et en prenant la trace, on obtient

$$\left(\frac{d}{dt} \langle P^2 \rangle \right)_{sp} = \Gamma \frac{\delta}{2} k_L^2 \langle X P^2 X \rangle \quad (4.29)$$

Dans le cours III, nous avons calculé $\langle X P^2 X \rangle$ pour le paquet d'ondes gaussien (3.14) et trouvé $\langle X P^2 X \rangle = \frac{3}{4} \hbar^2$

Contribution à $d\langle P^2 \rangle/dt$ des atomes qui quittent g

- C'est la contribution des 2 dernières termes de (4.26). Nous supposons ici $\delta = 0$, de sorte que $\delta' = 0$. Il ne reste donc plus que le dernier terme de (4.26)

- En multipliant le dernier terme de (4.26) par P^2 et en prenant la trace, on obtient

$$\left(\frac{d}{dt} \langle P^2 \rangle \right)_{départ} = - \Gamma \frac{\delta k_L^2}{2} \left\langle \frac{1}{2} (X^2 P^2 + P^2 X^2) \right\rangle \quad (4.30)$$

La relation de commutation $[X, f(P)] = i \hbar \frac{df(P)}{dP}$ donne alors

$$\begin{cases} X^2 P^2 = X P^2 X + 2i\hbar X P \\ P^2 X^2 = X P^2 X - 2i\hbar P X \end{cases} \quad (4.31)$$

de sorte que $\frac{1}{2} (X^2 P^2 + P^2 X^2) = X P^2 X - \hbar^2$ (4.32)

et par suite $\left(\frac{d}{dt} \langle P^2 \rangle \right)_{départ} = - \frac{\Gamma \delta k_L^2}{2} (\langle X P^2 X \rangle - \hbar^2)$ (4.33)

- Pour le paquet d'ondes gaussien (3.14), $\langle X P^2 X \rangle$ vaut $3\hbar^2/4$, de sorte que la parenthèse de (4.33) vaut $-\hbar^2/4$, et $(d\langle P^2 \rangle/dt)_{départ}$ vaut $\Gamma \delta \hbar^2 k_L^2 / 8$. Le départ des atomes de g contribue donc lui aussi à augmenter $\langle P^2 \rangle$. L'interprétation est la suivante. Comme l'amplitude de probabilité de quitter g après un temps t varie en $e^{-\Gamma'(x)t/2}$ et que $\Gamma'(x)$ croît avec x (voir (4.27)), les atomes qui restent dans g ont une fonction d'onde qui est d'autant plus réduite qu'on s'écarte de $x = 0$.

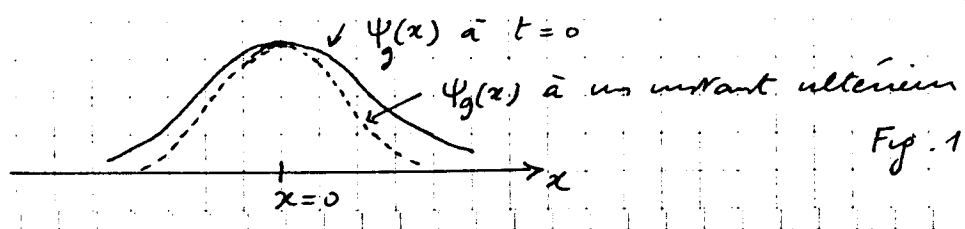


Fig. 1

La fonction d'onde des atomes restant dans g est donc plus étroite en x , donc plus large en p . (Nous avons implicitement supposé ici que σ est suffisamment grand pour qu'on puisse négliger l'étalement du paquet d'ondes entre 0 et t devant l'effet d'affinement en x discuté ici).

Vitesse de variation globale de $\langle P^2 \rangle$

- Ajoutons (4.29) et (4.33). On obtient, quelle que soit la forme exacte du paquet d'ondes

$$\frac{d}{dt} \langle P^2 \rangle = \Gamma \frac{s}{2} \hbar^2 k_L^2 = 2 \Gamma s_0 \hbar^2 k_L^2 = 2D \quad (4.34)$$

avec

$$D = \Gamma s_0 \hbar^2 k_L^2 \quad (4.35)$$

- On retrouve ainsi le résultat (2.61) du cours II, mais avec une compréhension physique plus poussée

Références

- Théorie quantique du cycle de pompage optique
 - (1) J-P. Barat et C. Cohen-Tannoudji
J. Phys. Rad. 22, 329 et 443 (1961)
 - (2) C. Cohen-Tannoudji, Thèse d'état, Paris (1962)
Ann. Phys. (Paris) 7, 423 et 469 (1962)
- Premières observations expérimentales des déplacements lumineux
 - (3) C. Cohen-Tannoudji C. R. Acad. Sci. 252, 395 (1961)
 - (4) M. Arditi and T.R. Carver, Phys. Rev 124, 800 (1961)
- Levé de dégénérescence Zeeman par déplacements lumineux et équivalence avec des champs magnétiques et électriques fictifs
 - (5) C. Cohen-Tannoudji et J. Dupont, Rev Phys Rev A5, 968 (1972)
et références in

Force radiative moyenne à la limite des faibles intensités et faibles vitesses

Buts de ce cours

Aux faibles intensités et faibles vitesses, les cohérences optiques peuvent être reciprocées adiabatiquement en fonction de l'opérateur densité δ_{gg} de l'état fondamental. Il en est donc de même de la force radiative moyenne qui ne dépend que des cohérences optiques. Le but de ce cours est de discuter l'expression approchée ainsi obtenue pour cette force moyenne et d'en extraire un certain nombre d'interprétations physiques.

Nous n'abordons pas encore ici le calcul de δ_{gg} et discutons simplement la structure de l'expression reliant la force moyenne à δ_{gg} .

① Expression générale de la force moyenne

- Nous utiliserons systématiquement dans ce cours la notation

$$\hbar G^\pm(\vec{r}) = \vec{d}^\pm \cdot E_L^\pm(\vec{r}) \quad (5.1)$$

déjà introduite en (4.2). Les équations (3.2) et (3.3) donnant le dipole moyen deviennent avec ces notations

$$\langle \vec{d}(t) \rangle = \langle \vec{d}^+(t) \rangle + \langle \vec{d}^-(t) \rangle \quad (5.2)$$

avec

$$\langle \vec{d}^-(t) \rangle = - \frac{1}{\delta + i \frac{\Gamma}{2}} \langle \vec{d}^- G^+ \rangle e^{-i\omega_L t} \quad (5.3.a)$$

$$\langle \vec{d}^+(t) \rangle = - \frac{1}{\delta - i \frac{\Gamma}{2}} \langle G^- \vec{d}^+ \rangle e^{i\omega_L t} \quad (5.3.b)$$

où $\langle \rangle$ signifie valeur moyenne dans l'état g : $\langle A \rangle = \text{Tr } A \delta_{gg}$.

- De même, l'expression (3.4) de la force moyenne devient, après avoir fait rentrer les quantités classiques $E_{L1}^-, \vec{\nabla} E_L^+$ dans la trace sur δ_{gg} .

$$\vec{F}(\vec{r}, t) = -\hbar \frac{1}{\delta - i \frac{\Gamma}{2}} \langle G^-(\vec{r}) (\vec{\nabla} G^+(\vec{r})) \rangle - \hbar \frac{1}{\delta + i \frac{\Gamma}{2}} \langle (\vec{\nabla} G^-(\vec{r})) G^+(\vec{r}) \rangle \quad (5.4)$$

- Séparons les parties réelles et imaginaires de $\frac{1}{\delta \pm i \frac{\Gamma}{2}}$ dans (5.4). On obtient

$$\vec{F}(\vec{r}, t) = \vec{F}_1(\vec{r}, t) + \vec{F}_2(\vec{r}, t) \quad (5.5)$$

avec

$$\left\{ \begin{array}{l} \vec{F}_1(\vec{r}, t) = -\hbar \frac{\delta}{\delta^2 + \frac{r^2}{4}} \left[\langle G^-(\vec{r}) (\vec{\nabla} G^+(\vec{r})) \rangle + \langle (\vec{\nabla} G^-(\vec{r})) G^+(\vec{r}) \rangle \right] \\ \vec{F}_2(\vec{r}, t) = i\hbar \frac{\Gamma/2}{\delta^2 + \frac{r^2}{4}} \left[\langle (\vec{\nabla} G^-(\vec{r})) G^+(\vec{r}) \rangle - \langle G^-(\vec{r}) (\vec{\nabla} G^+(\vec{r})) \rangle \right] \end{array} \right. \quad (5.6.a)$$

$$\left\{ \begin{array}{l} \vec{F}_1(\vec{r}, t) = -\hbar \frac{\delta}{\delta^2 + \frac{r^2}{4}} \left[\langle G^-(\vec{r}) (\vec{\nabla} G^+(\vec{r})) \rangle + \langle (\vec{\nabla} G^-(\vec{r})) G^+(\vec{r}) \rangle \right] \\ \vec{F}_2(\vec{r}, t) = i\hbar \frac{\Gamma/2}{\delta^2 + \frac{r^2}{4}} \left[\langle (\vec{\nabla} G^-(\vec{r})) G^+(\vec{r}) \rangle - \langle G^-(\vec{r}) (\vec{\nabla} G^+(\vec{r})) \rangle \right] \end{array} \right. \quad (5.6.b)$$

\vec{F}_1 est la force associée aux déplacements lumineux, ou encore la force en δ' , car c'est le même facteur, $\frac{\delta}{\delta^2 + \frac{r^2}{4}}$, qui

apparaît dans (5.6.a) et devant le terme décrivant l'effet des déplacements lumineux dans (4.3)

\vec{F}_2 est la force associée au pompage optique, ou encore la force en Γ' , à cause du facteur $\frac{\Gamma/2}{\delta^2 + \frac{\Gamma^2}{4}}$

Remarque

La dépendance en δ et Γ de \vec{F}_1 et \vec{F}_2 n'est pas entièrement contenue dans les facteurs $\delta/(8^2 + \Gamma^2/4)$ et $\Gamma/(8^2 + \Gamma^2/4)$ de (5.6), car la résolution de l'équation pilote pour σ_{gg} donne une solution dépendant de δ et Γ , de sorte que les valeurs moyennes figurant dans les crochets de (5.6) dépendent aussi de δ et Γ . En particulier, il serait erroné de croire que, à grand désaccord ($181 \gg \Gamma$), \vec{F}_2 est négligeable devant \vec{F}_1 . Le crochet de (5.6.a) peut en effet avoir une valeur beaucoup plus petite que celle du crochet de (5.6.b)

② Interprétation de la force \vec{F}_1 associée aux déplacements lumineux.

- Revenons à l'équation (4.3). Le 1^{er} terme de la 2^e ligne, qui décrit l'effet des déplacements lumineux, s'écrit

$$-i \frac{\delta}{8^2 + \frac{\Gamma^2}{4}} [G^- G^+, \sigma_{gg}] = \frac{1}{i\hbar} [H_{eff}, \sigma_{gg}] \quad (5.7)$$

où $H_{eff} = \hbar \frac{\delta}{8^2 + \frac{\Gamma^2}{4}} G^- G^+$ (5.8)

est l'hamiltonien effectif associé aux déplacements lumineux dans l'état fondamental. On peut vérifier aisément que (4.16) coïncide avec (5.8), compte tenu de (5.1).

- On voit alors aisément que \vec{F}_1 , donnée en (5.6.a), s'écrit

$$\vec{F}_1 = - \langle \vec{\nabla} H_{eff} \rangle \quad (5.9)$$

La force \vec{F}_1 est donc tout simplement l'opposé de la valeur moyenne dans l'état fondamental du gradient de l'hamiltonien effectif associé aux déplacements lumineux, ce qui justifie le nom donné à \vec{F}_1 .

- Soient $|g_\alpha\rangle$ et E_α les états propres et valeurs propres de H_{eff}

$$H_{eff} = \sum_\alpha E_\alpha |g_\alpha\rangle \langle g_\alpha| \quad (5.10)$$

En prenant le gradient de (5.10), on obtient

$$\vec{\nabla} H_{eff} = \sum_\alpha (\vec{\nabla} E_\alpha) |g_\alpha\rangle \langle g_\alpha| + \sum_\alpha E_\alpha [(\vec{\nabla} |g_\alpha\rangle) \langle g_\alpha| + |g_\alpha\rangle (\vec{\nabla} \langle g_\alpha|)] \quad (5.11)$$

et par suite

$$\vec{F}_1 = - \sum_\alpha (\vec{\nabla} E_\alpha) \Pi_\alpha - \sum_\alpha E_\alpha [\langle g_\alpha | \sigma_{gg} | (\vec{\nabla} |g_\alpha\rangle) + (\vec{\nabla} \langle g_\alpha|) \sigma_{gg} | g_\alpha \rangle] \quad (5.12)$$

où

$$\Pi_\alpha = \langle g_\alpha | \sigma_{gg} | g_\alpha \rangle \quad (5.13)$$

est la population du niveau $|g_\alpha\rangle$.

- Interprétation du 1^{er} terme de (5.12)

Si les états propres $|g_\alpha\rangle$ de H_{gg} sont indépendants de \vec{r} , le dernier terme de (5.12) est nul et \vec{F}_1 se réduit à

$$\vec{F}_1 = - \sum_\alpha (\vec{\nabla} E_\alpha) \Pi_\alpha \quad (5.14)$$

L'interprétation physique de (5.14) est très analogue à celle de la force dipolaire en termes d'atome bâton (voir Ref. 1). La force moyenne \vec{F}_1 est la somme des forces $-\vec{\nabla} E_\alpha$ associées aux gradients des énergies des sous niveaux de g déplacés par la lumière (flèches de la figure 1), pondérées par les probabilités d'occupation de ces niveaux (cercles pleins de la figure 1).

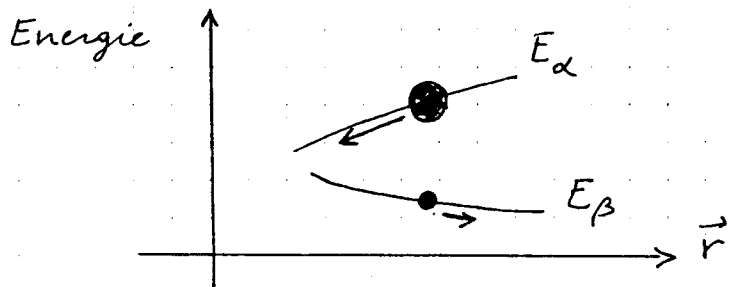


Figure 1

- Déplaçons l'atome de \vec{r} à $\vec{r} + d\vec{r}$. Le travail qu'il faut effectuer contre la force \vec{F}_1 écrité en (5.12) vaut

$$-\vec{F}_1 \cdot d\vec{r} = \sum_\alpha \Pi_\alpha dE_\alpha + \sum_\alpha E_\alpha [\langle g_\alpha | \sigma_{gg} | dg_\alpha \rangle + \langle dg_\alpha | \sigma_{gg} | g_\alpha \rangle] \quad (5.15)$$

où

$$dE_\alpha = d\vec{r} \cdot \vec{\nabla} E_\alpha \quad (5.16.a)$$

$$\langle dg_\alpha \rangle = d\vec{r} \cdot \vec{\nabla} |g_\alpha\rangle \quad (5.16.b)$$

- Interprétation du 2^{eme} terme de (5.12)

Négligeons ici tout pompage optique. Si les états propres de H_{gg} ne dépendaient pas de \vec{r} , un atome initialement dans l'état $|g_\alpha\rangle$ resterait dans le même état quand on déplace l'atome. Si les états propres varient avec \vec{r} , l'atome peut quitter l'état $|g_\alpha\rangle$ quand on le déplace, par suite d'effets non adiabatiques. Au 1^{er} ordre en $d\vec{r}$, le dernier terme de (5.15) peut s'écrire

$$\sum_\alpha E_\alpha d\Pi_\alpha^{na} \quad (5.17)$$

$$\text{où } d\Pi_\alpha^{na} = (\langle g_\alpha | + \langle dg_\alpha |) \sigma_{gg} (|g_\alpha\rangle + |dg_\alpha\rangle) - \langle g_\alpha | \sigma_{gg} | g_\alpha \rangle \quad (5.18)$$

est la variation non adiabatique de la population de l'état $|g_\alpha\rangle$ au cours du déplacement (voir discussion analogue pour les forces dipolaires dans la référence 1.).

③ Développement de l'onde laser en ondes planes

V-4

On peut toujours développer l'onde laser $\vec{E}_L^+(\vec{r})$ en ondes planes progressives de vecteurs d'ondes k_μ

$$\vec{E}_L^+(\vec{r}) = \sum_\mu \vec{E}_\mu^+(\vec{r}) \quad (5.19)$$

où $\vec{E}_\mu^+(\vec{r})$ varie avec \vec{r} comme $e^{ik_\mu \cdot \vec{r}}$. On en déduit

$$\vec{\nabla} G^+ = i \sum_\mu \vec{k}_\mu G_\mu^+ \quad (5.20.a)$$

$$\vec{\nabla} G^- = -i \sum_\nu \vec{k}_\nu G_\nu^- \quad (5.20.b)$$

ou

$$t G_\mu^\pm = \vec{d}^\pm \cdot \vec{E}_\mu^\pm(\vec{r}) \quad (5.21)$$

Nouvelle expression de \vec{F}_1

- En reportant les équations (5.20) dans (5.6.a), on obtient

$$\vec{F}_1 = -i \frac{\delta}{\delta^2 + \frac{P^2}{4}} \sum_\mu \sum_\nu t \vec{k}_\mu [\langle G_\nu^- G_\mu^+ \rangle - \langle G_\mu^- G_\nu^+ \rangle] \quad (5.22)$$

- Termes à 1 seule onde $\mu = \nu$

Ils sont nuls car $[\langle G_\mu^- G_\mu^+ \rangle - \langle G_\mu^- G_\mu^+ \rangle] = 0$

- Termes à 2 ondes $\mu \neq \nu$. La contribution de la paire (μ, ν) s'écrit

$$-i \frac{\delta}{\delta^2 + \frac{P^2}{4}} t (\vec{k}_\mu - \vec{k}_\nu) [\langle G_\nu^- G_\mu^+ \rangle - \langle G_\mu^- G_\nu^+ \rangle] \quad (5.23)$$

- Interprétation : \vec{F}_1 est une force de redistribution.

Le travail effectué par l'onde E_μ sur le dipole induit par l'onde E_ν est l'opposé de celui effectué par l'onde E_ν sur le dipole induit par l'onde E_μ . (Ce résultat peut se vérifier aisément en utilisant les termes en $\delta/\delta^2 + P^2/4$ de (5.3) et en remplaçant G^\pm par G_ν^\pm (ou G_μ^\pm), puis en calculant le travail effectué sur le dipole moyen par E_μ (ou E_ν).

Si des photons sont absorbés sur l'onde E_μ à cause de la présence de l'onde E_ν , un nombre égal de photons sont émis (de manière stimulée) sur l'onde E_ν à cause de la présence de l'onde E_μ . Il y a donc un transfert de photons du mode μ au mode ν . Une telle redistribution ne change pas l'énergie totale du champ (puisque $\omega_\mu = \omega_\nu = \omega_L$), mais change l'impulsion totale du champ (puisque $\vec{k}_\mu \neq \vec{k}_\nu$) et donc celle de l'atome.

Le fait que les termes en $\delta/\delta^2 + P^2/4$ ne correspondent pas à une variation du nombre global de photons est le pendant du fait que les déplacements lumineux ne font pas varier la population totale de g : la trace du commutateur de la 2^e ligne de (4.3) est nulle.

Nouvelle expression de \vec{F}_2

- En reportant les équations (5.20) dans (5.6.b), on obtient

$$\vec{F}_2 = \frac{\Gamma/2}{\delta^2 + \frac{\Gamma^2}{4}} \sum_{\mu} \sum_{\nu} t_k \vec{k}_{\mu} [\langle G_{\mu}^- G_{\nu}^+ \rangle + \langle G_{\nu}^- G_{\mu}^+ \rangle] \quad (5.24)$$

- Termes à une seule onde ($\mu = \nu$). A la différence de ce qui se passe pour F_1 , ils sont non nuls et valent

$$\frac{\Gamma}{\delta^2 + \frac{\Gamma^2}{4}} t_k \vec{k}_{\mu} \langle G_{\mu}^- G_{\mu}^+ \rangle \quad (5.25)$$

Interprétation : Ces termes représentent la force de pression de radiation associée aux photons absorbés sur l'onde μ indépendamment de l'effet des autres ondes. Pour démontrer ce point il suffit de démontrer que le coefficient de $t_k \vec{k}_{\mu}$ dans (5.25) est égal au nombre de photons absorbés par unité de temps par l'atome interagissant avec la seule onde μ , puisque chaque photon absorbé transfère une impulsion $t_k \vec{k}_{\mu}$ à l'atome. Or, le dernier terme de la 2^e ligne de (4.3) est un terme de départ décrivant comment l'état fondamental se vide par absorption réelle de photons. En remplaçant dans ce dernier terme G^{\pm} par G_{μ}^{\pm} (puisque on considère ici l'interaction avec la seule onde μ) et en prenant la trace, on trouve, en utilisant l'invariance d'une trace dans une permutation circulaire, que le nombre d'atomes quittant l'état g par unité de temps sous l'effet de la seule onde μ , n'est autre que $\frac{\Gamma}{\delta^2 + \frac{\Gamma^2}{4}} \langle G_{\mu}^- G_{\mu}^+ \rangle$, c'est à dire le coefficient de $t_k \vec{k}_{\mu}$ dans (5.25).

- Termes croisés à 2 ondes ($\mu \neq \nu$). La contribution de la paire (μ, ν) dans (5.24) s'écrit

$$\frac{\Gamma}{\delta^2 + \frac{\Gamma^2}{4}} t_k (\vec{k}_{\mu} + \vec{k}_{\nu}) [\langle G_{\mu}^- G_{\nu}^+ \rangle + \langle G_{\nu}^- G_{\mu}^+ \rangle] \quad (5.26)$$

Interprétation : Comme pour les termes croisés (5.24) de la force \vec{F}_1 , les processus physiques à l'origine du terme (5.26) sont l'absorption de photons $t_k \vec{k}_{\mu}$ sur l'onde μ travaillant sur le dipôle induit par l'onde ν , et réciproquement l'absorption de photons $t_k \vec{k}_{\nu}$ sur l'onde ν travaillant sur le dipôle induit par l'onde μ . Les nombres correspondants de photons absorbés par unité de temps sur les ondes μ et ν sont respectivement les coefficients de $t_k \vec{k}_{\mu}$ et $t_k \vec{k}_{\nu}$ dans (5.26). On voit qu'ils sont égaux dans (5.26) alors qu'ils ont des signes opposés dans les termes croisés (5.23) associés à \vec{F}_1 . Les processus à l'origine de (5.26) ne sont donc pas des processus de redistribution. Nous n'avons pas, comme pour \vec{F}_1 , des photons qui disparaissent de l'une des 2 ondes pour réapparaître dans l'autre, mais des photons qui disparaissent (ou apparaissent) en nombre égal dans les 2 ondes. Les termes (5.26) représentent donc des effets d'interférence qui augmentent (ou diminuent) de la même manière les pressions de radiation exercées par chacune des 2 ondes seules.

(4)

Cas des mélasses optiques à une dimension.

- Nous supposons maintenant que l'onde laser est formée de 2 ondes planes se propageant dans des directions opposées, de vecteurs d'ondes

$$\vec{k}_1 = \vec{k} \quad \vec{k}_2 = -\vec{k}_1 = -\vec{k} \quad (5.27)$$

et de polarisations $\hat{\epsilon}_1$ et $\hat{\epsilon}_2$. (Fig. 2)

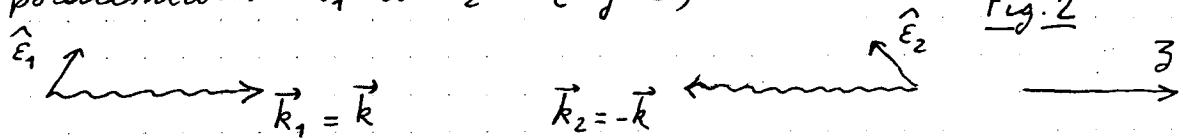


Fig. 2

- La force \vec{F}_1 est, comme nous l'avons vu plus haut, une force de pure redistribution. L'expression (5.2) devient ici :

$$\vec{F}_1 = \frac{\delta}{\delta^2 + \frac{P^2}{4}} 2\pi\hbar\vec{k} i [\langle G_1^- G_2^+ \rangle - \langle G_2^- G_1^+ \rangle] \quad (5.28)$$

- Comme $\vec{k}_1 + \vec{k}_2 = \vec{0}$ d'après (5.27), le terme croisé (5.26) de la force \vec{F}_2 est nul, et la force \vec{F}_2 se réduit à la somme des 2 termes à une seule onde (5.25) correspondant à \vec{k}_1 et \vec{k}_2 . On a donc, compte tenu de (5.27)

$$\vec{F}_2 = \frac{P}{\delta^2 + \frac{P^2}{4}} \pi\hbar\vec{k} [\langle G_1^- G_1^+ \rangle - \langle G_2^- G_2^+ \rangle] \quad (5.29)$$

Pour calculer \vec{F}_2 , on peut donc considérer uniquement la différence des pressions de radiation exercées par chacune des 2 ondes et calculées en considérant chaque fois cette seule onde.

Remarques

(i) Le fait de ne considérer qu'une seule onde à la fois dans le calcul de \vec{F}_2 vient dire ici que dans le calcul de \vec{F}_2 , les termes croisés $\langle G_1^- G_2^+ \rangle$ et $\langle G_2^- G_1^+ \rangle$ n'interviennent pas. Il ne faut pas oublier cependant que les valeurs moyennes des termes à une seule onde $\langle G_1^- G_1^+ \rangle$ et $\langle G_2^- G_2^+ \rangle$ dépendent de Ωgg et que l'équation pilote qu'il faut résoudre pour obtenir Ωgg tient compte de l'interaction de l'atome avec les 2 ondes à la fois. Il serait donc erroné de calculer $\langle G_1^- G_1^+ \rangle$ en ignorant l'existence de l'onde 2.

(ii) Les photons supplémentaires absorbés sur l'onde 1 à cause de la présence de l'onde 2 ne contribuent pas à \vec{F}_2 parce que leur effet est compensé exactement par les photons supplémentaires (en nombre égal) absorbés sur l'onde 2 à cause de la présence de l'onde 1, et qui poussent l'atome dans une direction opposée. S'ils ne contribuaient pas à la force moyenne, ces photons supplémentaires contribueraient certainement à la diffusion d'impulsion : augmentation de la fluorescence, augmentation des fluctuations de la différence des nombres de photons absorbés dans chaque onde.

(iii) Si l'atome n'a qu'un seul sous niveau dans g , et si les 2 ondes 1 et 2 ont même intensité, on trouve que la force (5.29), calculée ici à l'ordre 0 en $k\tau/P$, est nulle : c'est

uniquement les termes d'ordre 1 ou plus en $k\nu/\Gamma$, qui donnent naissance à une force \vec{F}_2 non nulle qui est à la base du refroidissement Doppler : c'est l'effet Doppler qui brise la symétrie entre les 2 ondes. Par contre, quand l'atome a plusieurs sous-niveaux dans g , et que il existe dans l'état fondamental une asymétrie créée par le pompage optique, l'absorptions de photons de polarisations \vec{E}_1 sont être plus probable que l'absorption de photons de polarisations \vec{E}_2 . $[\langle G_1^- G_1^+ \rangle - \langle G_2^- G_2^+ \rangle]$ peut alors être non nul, même à l'ordre 0 en $k\nu/\Gamma$, le mécanisme physique à l'origine du fait que \vec{F}_2 est non nul étant alors l'anisotropie de g créée par le pompage optique, et non plus l'effet Doppler.

Populations et cohérences Zeeman

- Les polarisations \vec{E}_1 et \vec{E}_2 des 2 ondes de la figure 2 sont perpendiculaires à l'axe Oz de propagation des 2 ondes, et sont donc des superpositions des 2 polarisations $\hat{E}_{\pm} = \mp(\hat{E}_x \pm i\hat{E}_y)/\sqrt{2}$ (Polarisations 5^+ et 5^-). Les valeurs moyennes $\langle G_1^- G_1^+ \rangle$, $\langle G_2^- G_1^+ \rangle$, $\langle G_1^- G_2^+ \rangle$ et $\langle G_2^- G_2^+ \rangle$, qui apparaissent dans (5.28) et (5.29), font donc nécessairement intervenir des éléments de matrice $\langle g_{\mu} | 5^+ | g_{\mu'} \rangle$ de 0 avec $\mu - \mu' = 0, \pm 2$. En effet, partant de g_{μ} , l'atome peut, par interaction avec l'onde 1 ou 2, monter dans $g_{\mu'}$ avec $\mu = \pm 1$, puis en interagissant de nouveau avec l'onde 1 ou 2, redescendre dans $g_{\mu'}$ avec $\mu' = m \pm 1$, c'est à dire $\mu' = \mu, \mu + 2, \mu - 2$. Dans une molasse optique à 1 dimension, la force moyenne s'exprime donc en fonction des populations des sous-niveaux Zeeman de l'état fondamental et des cohérences Zeeman $\Delta\mu = \pm 2$.

- L'apparition des cohérences Zeeman dans ce problème peut être interprétée de la manière suivante. Chacune des 2 ondes 1 et 2 de la figure 2 peut être considérée comme une superposition linéaire d'une onde 5^+ et d'une onde 5^- (qui se réduit à 1 seul terme si \hat{E}_1 ou \hat{E}_2 se réduit à \hat{E}_+ ou \hat{E}_-). Considérons alors la composante 5^+ de l'une des 2 ondes 1 ou 2. Si l'état fondamental était isotrope, le dipôle induit par cette composante 5^+ serait lui aussi 5^+ et ne pourrait donc interagir qu'avec l'onde 5^+ qui lui a donné naissance ou la composante 5^+ de l'onde se propagant en sens opposé. Par contre, si l'état fondamental est anisotrope, en particulier si les cohérences Zeeman $\Delta\mu = \pm 2$ ne sont pas toutes nulles, la composante 5^+ d'une onde peut induire un dipole qui a une composante 5^- et qui peut donc interagir avec la composante 5^- de la même onde ou de l'onde se propagant en sens opposé. L'existence de cohérences Zeeman $\Delta\mu = \pm 2$ permet donc à 2 ondes de polarisations opposées 5^+ et 5^- , se propageant dans le même sens ou en sens opposé, d'être couplées.

Références

- (1) J. Dalibard, C. Cohen-Tannoudji: J.O.S.A. B2, 1707 (1985). Pour des présentations analogues de la force moyenne après élimination adiabatique des cohérences optiques, voir
- (2) J. Dalibard, C. Cohen-Tannoudji: J.O.S.A. B6, 2023 (1989)
- (3) H. Walther, Thèse. Bonn. 1990
- (4) G. Nienhuis: in: L.I.K.E. Proceeding (L. Moi et al eds) à paraître 1990.

Le refroidissement "Sisyphe"
Etude semiclassique d'un modèle à 1 dimension

Buts de ce cours

Présenter sur un modèle très simple l'un des nouveaux mécanismes les plus importants de refroidissement laser, appelé refroidissement "Sisyphe" parce que l'atome en mouvement monte plus de côtes de potentiel qu'il n'en descend.

On se limite ici à une molasse optique à 1 dimension. La configuration laser et la transition atomique choisies sont telles que la force moyenne subie par l'atome est due uniquement à la variation spatiale des énergies des sous-niveaux de l'état fondamental ayant un déplacement lumineux bien défini (les fonctions d'onde de ces sous-niveaux sont indépendantes de la position de l'atome et les pressions de radiation exercées par les 2 ondes laser se propageant en sens opposé s'équilibreront toujours espacement). Le mécanisme étudié est donc très pur.

Le traitement présenté ici est semiclassique et suit de très près celui de la référence 1 et celui de la référence 2.

① - Le modèle étudiéConfiguration laser

- 2 ondes laser, de même amplitude E_0 , de même fréquence ω_L , se propageant en sens opposé le long de Oz et de polarisations linéaires croisées le long de Ox et Oy (Fig. 1)

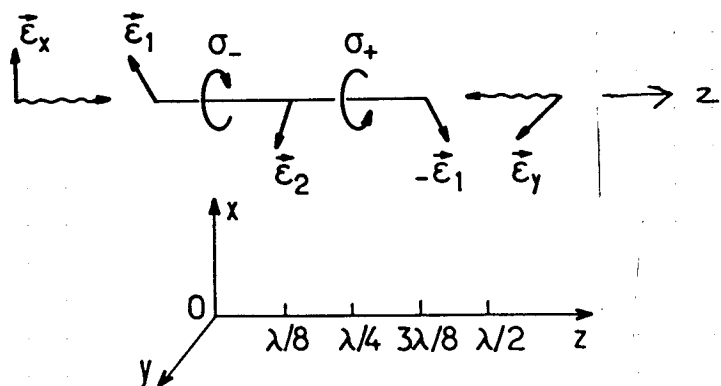


Fig. 1

$$\vec{E}_L(z, t) = \vec{E}_L^+(z) e^{-i\omega_L t} + c.c. \quad (6.1)$$

$$\vec{E}_L^+(z) = (\hat{\epsilon}_x e^{ikz} - i \hat{\epsilon}_y e^{-ikz}) E_0 \quad (6.2)$$

- Le facteur $-i$ dans 6.2 est choisi de manière à avoir une polarisation O_- en $z=0$. La polarisation change très vite le long de Oz , devenant elliptique, linéaire, O^+ , elliptique, linéaire... (Fig. 1)

Forts gradients de polarisation - Gradients d'ellipticité

- Calcul de la polarisation $\hat{\epsilon}(z)$ en z et de l'amplitude $E_L(z)$ en z

$$\vec{E}_L^+(z) = E_0 \sqrt{2} \left[\cos kz \frac{\hat{\epsilon}_x - i \hat{\epsilon}_y}{\sqrt{2}} + i \sin kz \frac{\hat{\epsilon}_x + i \hat{\epsilon}_y}{\sqrt{2}} \right] \quad (6.3)$$

$$\hat{\epsilon}(z) = \cos kz \hat{\epsilon}_- - i \sin kz \hat{\epsilon}_+ \quad (6.4.a) \qquad \vec{E}_L(z) = \sqrt{2} E_0 \quad (6.4.b)$$

Transitions atomique

$$J_g = 1/2 \leftrightarrow J_e = 3/2$$

VI-2

Les coefficients de Clebsch-Gordan sont donnés sur la Fig. 2.

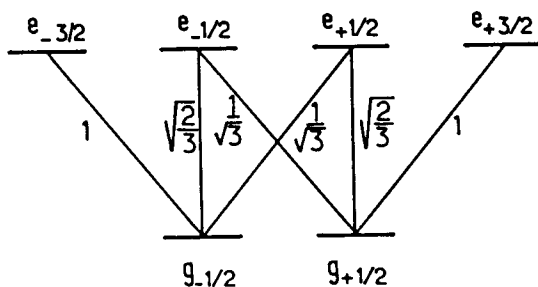


Fig. 2

Simplifications qui en résultent pour la force moyenne

(i) Force \bar{F}_1 en δ' (voir cours V, § 2)

- Comme il n'y a que 2 sous-niveaux dans g , l'opérateur

$$A(z) = (\hat{E}^*(z) \cdot \hat{d}^-) (\hat{E}(z) \cdot \hat{d}^+) \quad (6.5)$$

est diagonal dans la base $\{|g_{\pm 1/2}\rangle, |g_{\mp 1/2}\rangle\}$. En effet, $\hat{E}(z)$ est une superposition linéaire de \hat{E}_+ et \hat{E}_- (voir 6.4.a), et les seuls éléments non diagonaux de A ne peuvent apparaître qui entre 2 sous-niveaux $|g_{\mu}\rangle$ et $|g_{\mu'}\rangle$ avec $\mu - \mu' = \pm 2$, ce qui est impossible ici.

- Les états propres de A sont donc $|g_{\pm 1/2}\rangle$ et $|g_{\mp 1/2}\rangle$ et sont indépendants de z . Il n'y a donc pas de contribution à \bar{F}_1 d'effets non adiabatiques liés à la variation spatiale des fonctions d'onde : le dernier terme (de 5.12) est nul.

- Par contre, comme la polarisation $\hat{E}(z)$ varie avec z , les valeurs propres de $A(z)$ dépendent de z . Les énergies $E_{\pm 1/2}(z)$ des 2 sous-niveaux $|g_{\pm 1/2}\rangle$ déplacés par la lumière varient donc avec z . Si l'on note

$$\Pi_{\pm 1/2}(z) = \langle g_{\pm 1/2} | \sigma(z) | g_{\pm 1/2} \rangle \quad (6.6)$$

les populations de ces 2 sous-niveaux pour un atome en z , le 1^{er} terme de (5.12) devient ici

$$\vec{F}_1(z) = -\Pi_{+1/2}(z) \vec{\nabla} E_{+1/2}(z) - \Pi_{-1/2}(z) \vec{\nabla} E_{-1/2}(z) \quad (6.7)$$

(ii) Force \vec{F}_2 en Γ' (voir cours V, §§ 3 et 4)

- Comme on se limite ici à une mélange à 1 dimension, \vec{F}_2 est simplement la différence entre les pressions de radiation exercées par les 2 ondes 1 et 2. ($\hat{E}_1 = \hat{E}_x$, $\hat{E}_2 = \hat{E}_y$) se compensant en sens inverse. Voir équation (5.29) du cours V.

- Comme les intensités des 2 ondes sont égales, il suffit de calculer $\langle (\hat{E}_1^* \cdot \hat{d}^-)(\hat{E}_1 \cdot \hat{d}^+) \rangle - \langle (\hat{E}_2^* \cdot \hat{d}^-)(\hat{E}_2 \cdot \hat{d}^+) \rangle$.

Or $\hat{E}_1 = \hat{E}_x$ et $\hat{E}_2 = \hat{E}_y$ sont tous 2 des superpositions à poids égal de \hat{E}_+ et \hat{E}_- . Comme il ne peut y avoir de cohérences Zeeman $\Delta\mu = 2$ dans g (à cause de $J_g = 1/2$), il n'y a pas de termes croisés entre les composantes σ^+ et σ^- de \hat{E}_1 (ou \hat{E}_2). Pour obtenir $\langle (\hat{E}_1^* \cdot \hat{d}^-)(\hat{E}_1 \cdot \hat{d}^+) \rangle$, il suffit donc de sommer les populations

$\Pi_{+1/2}$ et $\Pi_{-1/2}$ par la demi-summe des carrés des coefficients de Clebsch-Gordan des transitions S^+ et S^- partant de chacun de ces 2 sous-niveaux. On obtient alors aisement

$$\langle (\hat{E}_1^* \cdot \hat{d}^-)(\hat{E}_1 \cdot \hat{d}^+) \rangle = \frac{2}{3}(\Pi_{+1/2} + \Pi_{-1/2}) = \frac{2}{3} = \langle (\hat{E}_2^* \cdot \hat{d}^-)(\hat{E}_2 \cdot \hat{d}^+) \rangle \quad (6.8)$$

Les pressions de radiation des 2 ondes s'équilibrent donc toutes exactement et \vec{F}_2 est identiquement nul.

(iii) Récapitulation

- la force moyenne totale se réduit donc à (6.7) et n'est due qu'à la variation spatiale des déplacements lumineux.
- Pour aller plus loin, il faut maintenant calculer les déplacements lumineux $E_{\pm 1/2}(z)$, ainsi que les populations $\Pi_{\pm 1/2}(z)$ des 2 sous niveaux $|g_{\pm 1/2}\rangle$. Il faut donc revenir à l'équation d'évolution de Ogg, introduite dans le cours IV, et résoudre cette équation pour un atome, soit immobile en z , soit passant en z à la vitesse v .

② Déplacements lumineux (voir cours IV, § 4.5)

Matrice représentant $A(z)$ dans la base $\{|g_{\pm 1/2}\rangle\}$

- Nous avons déjà mentionné plus haut que $\langle g_{+1/2} | A(z) | g_{-1/2} \rangle = 0$
- Pour calculer $A_{++} = \langle g_{+1/2} | A(z) | g_{+1/2} \rangle$, on utilise (6.4.a) et les coefficients de Clebsch-Gordan de la figure 2. On trouve

$$\begin{cases} A_{++}(z) = \sin^2 kz + \frac{1}{3} \cos^2 kz = 1 - \frac{2}{3} \cos^2 kz \\ A_{--}(z) = \frac{1}{3} \sin^2 kz + \cos^2 kz = 1 - \frac{2}{3} \sin^2 kz \end{cases} \quad (6.9)$$

Calcul de $E_{\pm 1/2}(z)$

$$\begin{cases} E_{+1/2}(z) = \hbar \delta' A_{++} = \hbar \delta' (1 - \frac{2}{3} \cos^2 kz) \\ E_{-1/2}(z) = \hbar \delta' A_{--} = \hbar \delta' (1 - \frac{2}{3} \sin^2 kz) \end{cases} \quad (6.10)$$

ou

$$\delta' = \delta \frac{s}{2} = \delta s_0 \quad (6.11)$$

s étant le paramètre de saturation pour une onde d'amplitude E_L . Comme $E_L = \sqrt{2} E_0$ (voir 6.4.b), $s = 2s_0$ où s_0 est le paramètre de saturation de chacune des 2 ondes 1 et 2, d'où la 2^e égalité (6.11)

- Les énergies des 2 sous-niveaux $g_{\pm 1/2}$ varient donc sinusoidalement dans l'espace, et en opposition de phase (Fig. 3). On peut écrire

$$E_{+1/2}(z) - E_{-1/2}(z) = -\frac{2}{3} \hbar \delta' (\cos^2 kz - \sin^2 kz) = U_0 \cos 2kz \quad (6.12)$$

ou

$$U_0 = -\frac{2}{3} \hbar \delta' = -\frac{2}{3} \hbar \delta s_0 \quad (6.13)$$

est la profondeur des trous de potentiel associés à chacun de ces 2 niveaux oscillant dans l'espace (Fig. 3). On suppose ici $\delta < 0$, de sorte que $U_0 > 0$.

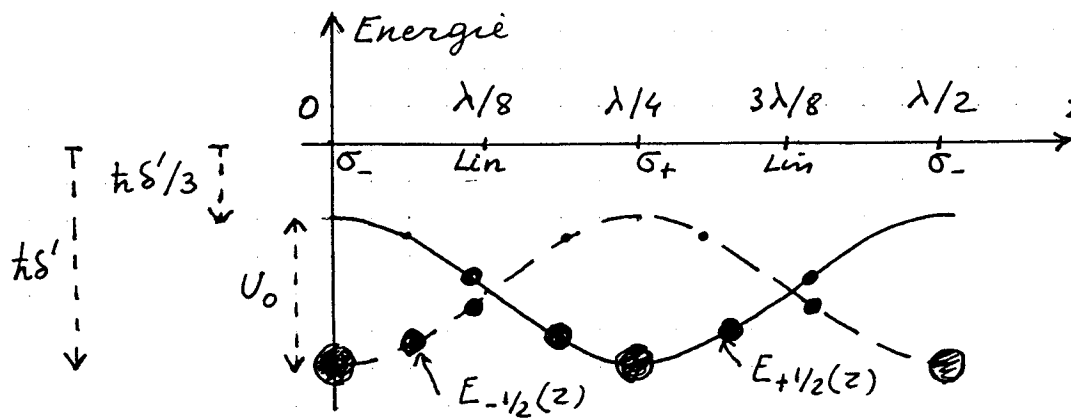


Fig. 3

Nouvelle expression de la force moyenne

En reportant (6.10) dans (6.7), on obtient, compte tenu de (6.13)

$$\vec{F}(z) = \vec{F}_1(z) = \hat{e}_3 k V_0 \sin 2kz [\Pi_{+1/2}(z) - \Pi_{-1/2}(z)] \\ = \hat{e}_3 k V_0 \sin 2kz M(z) \quad (6.14)$$

où

$$M(z) = \Pi_{+1/2}(z) - \Pi_{-1/2}(z) \quad (6.15)$$

en la différence de populations entre les 2 sous-niveaux $|g_{\pm 1/2}\rangle$.

(3) Equations du pompage optique (voir cours IV, § 4c)

Paramètre Γ'

$$\Gamma' = \Gamma \frac{\delta}{2} = \Gamma \delta_0 \quad (6.16)$$

Termes de départ : diagonaux dans la base $\{|g_{\pm 1/2}\rangle\}$

$$\begin{cases} \left(\frac{d}{dt} \Pi_{+1/2}(z) \right)_{\text{départ}} = -\Gamma' A_{++} \Pi_{+1/2}(z) = -\Gamma' \left(1 - \frac{2}{3} \cos^2 k z \right) \Pi_{+1/2}(z) \\ \left(\frac{d}{dt} \Pi_{-1/2}(z) \right)_{\text{départ}} = -\Gamma' A_{--} \Pi_{-1/2}(z) = -\Gamma' \left(1 - \frac{2}{3} \sin^2 k z \right) \Pi_{-1/2}(z) \end{cases} \quad (6.17)$$

Termes de retombée

A cause de l'isotropie de l'émission spontanée, une population dans g ne peut être alimentée qu'à partir d'une population dans e . Or comme il n'y a pas de cohérence $\delta \mu = 2$ dans g , une population dans e ne peut être alimentée par absorption qu'à partir d'une population dans g . Les termes de retombée ne couplent donc les populations dans g qui aux populations dans g . Effectivement, les équations (6.19) deviennent ici, compte tenu de (6.4.a) et des coefficients de Clebsch-Gordan de la Fig. 2

$$\begin{cases} \left(\frac{d}{dt} \Pi_{+1/2}(z) \right)_{\text{retombée}} = \Gamma' \left(\sin^2 k z + \frac{1}{9} \cos^2 k z \right) \Pi_{+1/2}(z) + \Gamma' \frac{2}{9} \sin^2 k z \Pi_{-1/2}(z) \\ \left(\frac{d}{dt} \Pi_{-1/2}(z) \right)_{\text{retombée}} = \Gamma' \frac{2}{9} \cos^2 k z \Pi_{+1/2}(z) + \Gamma' \left(\cos^2 k z + \frac{1}{9} \sin^2 k z \right) \Pi_{-1/2}(z) \end{cases} \quad (6.18)$$

Vitesse de variation globale de $\Pi_{\pm 1/2}(z)$

En ajoutant (6.17) et (6.18) on obtient

$$\begin{cases} \frac{d}{dt} \Pi_{+1/2}(z) = -\frac{2}{9} \Gamma' \cos^2 k z \Pi_{+1/2}(z) + \frac{2}{9} \Gamma' \sin^2 k z \Pi_{-1/2}(z) \\ \frac{d}{dt} \Pi_{-1/2}(z) = \frac{2}{9} \Gamma' \cos^2 k z \Pi_{+1/2}(z) - \frac{2}{9} \Gamma' \sin^2 k z \Pi_{-1/2}(z) \end{cases} \quad (6.19)$$

Taux de pompage optique d'un niveau à l'autre

- Les équations (6.19) s'interprètent très simplement en considérant que le pompage optique transfère l'atome du sous-niveau $|g_{+1/2}\rangle$ (resp. $|g_{-1/2}\rangle$) vers le sous-niveau $|g_{-1/2}\rangle$ (resp. $|g_{+1/2}\rangle$) avec un taux $\Gamma'_{+1/2} \rightarrow -1/2$ (resp. $\Gamma'_{-1/2} \rightarrow +1/2$)

$$\begin{cases} \Gamma'_{+1/2} \rightarrow -1/2(z) = \frac{2}{g} \Gamma' \cos^2 k z \\ \Gamma'_{-1/2} \rightarrow +1/2(z) = \frac{2}{g} \Gamma' \sin^2 k z \end{cases} \quad (6.20)$$

- Les taux de pompage optique d'un sous-niveau à l'autre varient donc dans l'espace, avec la même période spatiale que les déplacements lumineux (6.9).

$\Gamma'_{+1/2} \rightarrow -1/2(z)$ est maximum quand $\cos^2 k z$ est maximum, c'est à dire en $z = 0, \lambda/2 \dots$ c'est à dire encore aux maxima de $E_{+1/2}(z)$ (voir Fig. 3). Par contre $\Gamma'_{+1/2} \rightarrow -1/2(z) = 0$ quand $\cos^2 k z = 0$, c'est à dire en $z = \lambda/4, 3\lambda/4 \dots$ c'est à dire encore aux minima de $E_{+1/2}(z)$ (voir Fig. 3).

Point très important pour la suite. Quand on se déplace le long de O_3 sur l'une des 2 courbes $E_{\pm 1/2}(z)$, le taux de pompage optique vers l'autre sous-niveau est maximum au sommet des côtes de la courbe de potentiel, nul au fond des vallées.

Vitesse de variation de la différence de populations $M(z) = \Pi_{+1/2}(z) - \Pi_{-1/2}(z)$

- On vérifie aisément sur (6.19) que $\Pi_{+1/2}(z) + \Pi_{-1/2}(z)$ ne varie pas et reste égal à 1

$$\Pi_{+1/2}(z) + \Pi_{-1/2}(z) = 1 \quad (6.21)$$

- En retranchant la 2^e équation (6.19) de la 1^e et en utilisant (6.15) et (6.21), on obtient

$$\frac{d}{dt} M(z) = -\frac{1}{\tau_p} [M(z) + \cos 2kz] \quad (6.22)$$

où $\frac{1}{\tau_p} = \frac{2}{g} \Gamma' = \frac{2 \Gamma_{50}}{g}$ (6.23)

τ_p est le temps de pompage optique caractérisant la vitesse de variation de la différence de population entre les 2 sous-niveaux.

(4) Atome en mouvement - L'effet Sisyphé

Un atome est lancé à la vitesse v_0 le long de O_3 dans l'un des 2 sous-niveaux Zeeman, par exemple dans l'état $|g_{+1/2}\rangle$.

a - Discussion qualitative dans le cas $\frac{1}{2} M v_0^2 \gg \nu_0$, $v_0 \tau_p \gg t$

- Comme $v_0 \tau_p \gg t$, l'atome parcourt plusieurs λ avant d'être pompé optiquement vers l'autre sous-niveau.

- Comme $\Gamma'_{+1/2} \rightarrow -1/2$ est maximal aux sommets de la courbe $E_{+1/2}(z)$ la transition $+1/2 \rightarrow -1/2$ se fera préférentiellement au voisinage d'un sommet, l'atome se retrouvant après la transition dans l'état $|g_{-1/2}\rangle$ au voisinage du fond d'une vallée de $E_{-1/2}(z)$ [voir Fig. 4]. Une telle

transition diminue l'énergie potentielle de l'atome, tout en laissant son énergie cinétique inchangée (on néglige pour le moment la variation d'énergie cinétique due à l'émission du photon de fluorescence et à l'absorption d'un photon laser - voir § b plus loin). L'énergie totale de l'atome diminue donc, comme cela est représenté sur la partie supérieure de la figure 4.

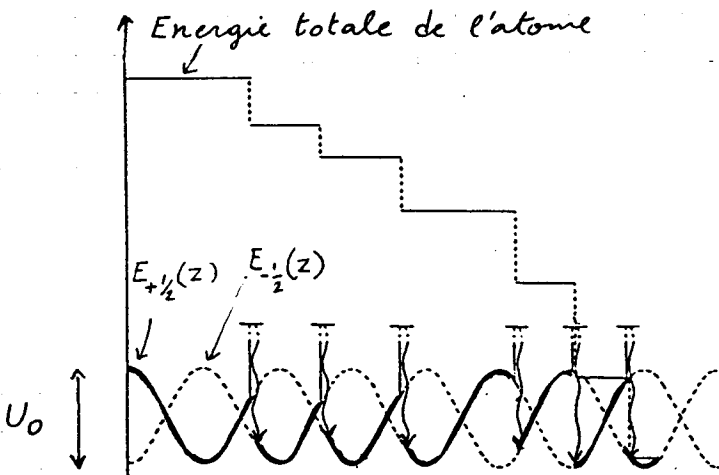


Fig. 4
(extraite de la Ref. 2)

- Le cycle précédent peut être répété plusieurs fois. Comme l'atome quitte le plus souvent une courbe de potentiel au voisinage d'un sommet pour se retrouver au fond d'une vallée dans l'autre courbe de potentiel, il gaigne plus de cotes qu'il n'en descend, comme Sisyphe dans la mythologie grecque, d'où le nom donné à l'effet. Il ressort clairement de la discussion précédente que l'effet Sisyphe est dû à la conjonction de 2 effets
 - des déplacements lumineux oscillant dans l'espace
 - des taux de pompage optique variant dans l'espace et étant les plus importants du sous-niveau le plus élevé vers le sous-niveau le plus bas.
- Après un certain nombre de cycles, l'atome peut se retrouver piégé au fond d'un puits de potentiel. C'est le cas du dernier cycle de la figure 4. Son énergie peut reaugmenter ensuite à cause de la diffusion d'impulsion ou d'un pompage optique vers l'autre niveau. Mais on conçoit aisément que l'énergie de l'atome en régime stationnaire va s'exprimer en unités de U_0 . D'où la tentation de prendre U_0 de plus en plus petit pour avoir des températures d'équilibre de plus en plus basses. Voir cependant § b plus loin.
- Bilan d'impulsion et d'énergie

Entre 2 cycles de fluorescence, le mouvement est conservatif. Quand l'atome gaigne une côte, son énergie potentielle augmente et son énergie cinétique diminue. La variation d'impulsion de l'atome est, quant à elle, due à une redistribution cohérente des photons entre les 2 ondes laser se propageant en sens inverse.

Au cours d'un cycle de fluorescence, l'énergie potentielle perdue par l'atome est emportée par le photon de fluorescence qui a une énergie plus élevée que celle du photon laser absorbé. Cette dissipation d'énergie par processus de diffusion Raman anti-Stokes est essentielle pour l'effet Sisyphus.

b - Existence d'un seuil pour V_0

Perte moyenne d'énergie potentielle par effet Sisyphie

- Nous supposons que l'atome va très vite : $v_{tp} \gg t$. Il parcourt plusieurs arêtes de $E_{\pm}(z)$ avant de passer d'un sous-niveau à l'autre, par pompage optique. Sa répartition spatiale varie donc très peu avec z . Nous la supposons uniforme.

- Supposons l'atome dans $g_{-1/2}$. Il peut passer dans $g_{+1/2}$ au point z avec une probabilité $\Gamma_{-1/2} \rightarrow +1/2 = 2\Gamma' \sin^2 k z / g$ et son énergie potentielle varie alors de $E_{+1/2}(z) - E_{-1/2}(z) = V_0 \cos 2kz$. La moyenne spatiale de la variation d'énergie potentielle vaut donc

$$\overline{\Delta U} = V_0 \frac{\frac{2}{g} \frac{\sin^2 k z \cos 2kz}{\sin^2 k z}}{2} = -\frac{V_0}{2} \quad (6.24)$$

Même résultat pour des atomes dans $g_{+1/2}$ et passant dans $g_{-1/2}$.
La perte moyenne d'énergie potentielle quand l'atome change de sous-niveau est donc $-V_0/2$.

- D'après les coefficients de Clebsch-Gordan de la figure 2, et d'après (6.4.a), pour un atome dans $g_{+1/2}$, le nombre de cycles (δ^+, δ^+) (absorption d'un photon δ^+ suivie de l'émission spontanée d'un photon δ^+) , (δ^-, δ^-) , (δ^-, π) sont respectivement proportionnels à $\sin^2 k z \times 1$, $\cos^2 k z \times 1/g$, $\cos^2 k z \times 2/g$, c'est à dire encore à $g, 1, 2$. Seuls les cycles (δ^-, π) font changer l'atome de sous-niveau.

Sur 6 photons absorbés et réémis, un seul est donc utile en moyenne pour diminuer V_0 . Après N cycles de fluorescence, la variation moyenne d'énergie potentielle vaut donc

$$\overline{\Delta U} = -\frac{N}{6} \frac{V_0}{2} = -N \frac{V_0}{12} \quad (6.25)$$

Gain d'énergie cinétique le long de OZ dû aux photons de fluorescence

- Quand un atome excité d'impulsion \vec{p} émet un photon de fluorescence $t_k \vec{k}$, son impulsion passe de \vec{p} à $\vec{p} - t_k \vec{k}$, et son p_z^2 varie en moyenne de $t_k^2 \langle k_z^2 \rangle$. (le terme en $-2t_k \vec{k} \cdot \vec{p}$ a une moyenne nulle car les émissions \vec{k} et $-\vec{k}$ ont la même probabilité).

- Sur 6 photons absorbés, 5 sont réémis avec une polarisation circulaire δ^+ ou δ^- , et pour ces photons, on a $\langle k_z^2 \rangle = 2k^2/5$, 1 est réémis avec une polarisation π qui donne $\langle k_z^2 \rangle = k^2/5$. Après N cycles de fluorescence, la variation moyenne d'énergie cinétique due aux photons de fluorescence vaut donc ($E_R = t_k^2 k^2 / 2M$ est l'énergie de recoil) :

$$(\overline{\Delta T})_{\text{spont}} = N E_R \left[\frac{5}{6} \frac{2}{5} + \frac{1}{6} \frac{1}{5} \right] = N \frac{11}{30} E_R \quad (6.26)$$

- Remarque : Dans la Ref. 2, on suppose, pour simplifier les calculs numériques, que les photons δ^{\pm} sont émis parallèlement ou antiparallèlement à OZ , les photons π perpendiculairement à OZ . L'expression (6.26) doit alors être remplacée par

$$(\overline{\Delta T})'_{\text{spont}} = N E_R \left[\frac{5}{6} \times 1 + \frac{1}{6} \times 0 \right] = N \frac{5}{6} E_R \quad (6.26)'$$

Gain d'énergie cinétique le long de Oz dû à l'absorption

(VI-8)

- L'émission de N photons de fluorescence se traduit par la disparition de N_+ photons dans l'onde 1 et N_- dans l'onde 2, avec

$$N_+ + N_- = N \quad (6.27)$$

l'atome gagnant l'impulsion

$$\Delta P_z = (N_+ - N_-) \hbar k \quad (6.28)$$

- En moyenne, $\langle N_+ \rangle = \langle N_- \rangle$ et $\langle \Delta P_z \rangle = 0$. Par contre, $N_+ - N_-$ fluctue autour de 0. A faible intensité et grande vitesse on peut penser que les effets non poissoniens sont négligeables. Nous l'admettrons ici, ce qui donne pour la variance de $N_+ - N_-$

$$\langle (N_+ - N_-)^2 \rangle = \langle N_+ \rangle + \langle N_- \rangle = N \quad (6.29)$$

de sorte que le gain moyen d'énergie cinétique le long de Oz après absorption de N photons, c'est à dire après N cycles, vaut

$$\langle \Delta T \rangle_{\text{abs}} = N E_R \quad (6.30)$$

Bilan global pour la variation moyenne d'énergie totale $\overline{\Delta E}$

- En ajoutant (6.25), (6.26) et (6.30), on obtient

$$\overline{\Delta E} = N \left[-\frac{U_0}{12} + \frac{11}{30} E_R + E_R \right] \quad (6.31)$$

qui n'est négatif que si

$$U_0 > 16.4 E_R \quad (6.32)$$

le même calcul fait avec (6.26)' donne

$$U_0 > 22 E_R \quad (6.33)$$

- On voit ainsi, en conclusion, que U_0 doit être supérieur à quelques dizaines de E_R si l'on veut que le mécanisme Siyphie soit efficace, c'est à dire, diminue l'énergie totale des atomes.

C- Les 2 régimes

- Supposons maintenant que l'atome, dans l'état $g_{-1/2}$, soit piégé au fond d'un puits de potentiel, par exemple au voisinage de $z=0$. Négligeons momentanément tout pompage optique. L'atome va osciller autour de sa position d'équilibre avec une pulsation Ω_{osc} qui on obtient en développant $E_{-1/2}(z)$ au voisinage de $z=0$

$$E_{-1/2}(z) = \hbar \delta' + U_0 \sin^2 k z \simeq \hbar \delta' + U_0 k^2 z^2 \quad (6.34)$$

et en égalant le terme en z^2 à $\frac{1}{2} M \Omega_{\text{osc}}^2 z^2$, ce qui donne

$$\Omega_{\text{osc}} = k \sqrt{\frac{2 U_0}{M}} \quad (6.35)$$

- Considérons maintenant la quantité $\Omega_{\text{osc}} \tau_p \sim k \tau_p \sqrt{2 U_0 / M}$ qui représente physiquement le nombre d'oscillations que l'atome effectue dans le puits avant de changer de couche de potentiel par pompage optique. 2 cas extrêmes sont alors à envisager

Régime "sautant"

$$\Omega_{\text{osc}} \tau_p = k \tau_p \sqrt{\frac{2 U_0}{M}} \ll 1 \quad (6.36)$$

L'atome saute très souvent d'un sous-niveau à l'autre avant

VI-9

de bouger appréciablement. Bien que τ_p soit long (bien plus long que $\tau_R = \Gamma^{-1}$), les variables internes évoluent beaucoup plus vite que les variables externes.

Tout « Tost »

Elles peuvent alors être éliminées adiabatiquement au profit des variables externes, et le mouvement de l'atome décrit en termes de force moyenne et de coefficient de diffusion. C'est ce qui est fait dans la référence 1.

Régime oscillant

$$\Omega_{osc} \tau_p = k \tau_p \sqrt{\frac{2 U_0}{m}} \gg 1 \quad (6.38)$$

τ_p est maintenant si long que ce sont les variables externes qui évoluent plus vite que les variables internes. La description habituelle en termes de force n'est alors plus valable.

Une approche originale, développée récemment (voir Ref. 3), consiste à considérer tout d'abord les niveaux d'énergie de $P^2/2M + H_{eff}(z)$: particulière dans le bi-potentiel de la figure 3. (les niveaux sont en fait des "bandes" à cause du caractère périodique du potentiel). La condition (6.38) exprime que la largeur des niveaux, de l'ordre de τ_R/τ_p , est plus petite que la distance entre les niveaux, de l'ordre de $\tau_p \Omega_{osc}$. Les équations du pontage optique entre ces niveaux peuvent alors être simplifiées (approximation séculaire permettant de négliger les couplages entre populations et cohérences) et résolues numériquement, ce qui donne les populations des niveaux. Connaissons par ailleurs les fonctions d'ondes, on en déduit les distributions de position et d'impulsion.

Recapitulations : La figure 5, extraite de la référence 2, donne, pour l'énergie de seuil du Césium, les domaines des différents régimes dans le plan $\frac{\Omega_1}{\Gamma}, \frac{-\delta}{\Gamma}$

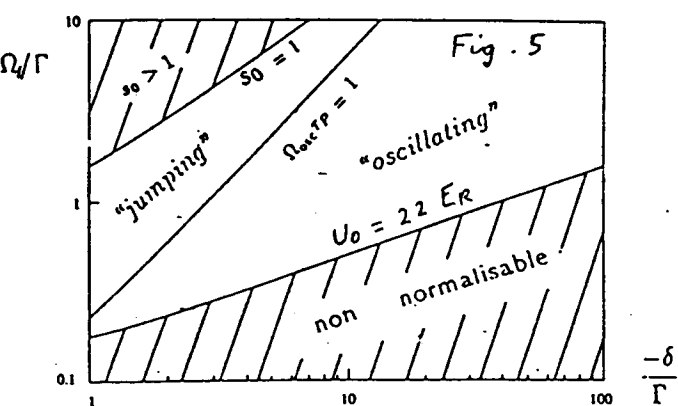
$$S_0 = 1 \rightarrow \frac{\Omega_1^2/2}{\delta^2 + \frac{\Omega_1^2}{4}} = 1 \rightarrow \text{droite de pente } 1 \text{ en coordonnées logarithmiques pour } |\delta| \gg \Gamma$$

$$U_0 = 22 E_R \rightarrow \frac{\Omega_1^2 \delta}{\delta^2 + \frac{\Omega_1^2}{4}} = C^4 \rightarrow \Omega_1 \sim \delta^{1/2} \rightarrow \text{Droite de pente } 1/2$$

$$\Omega_{osc} \tau_p = 1 \rightarrow \frac{\sqrt{U_0}}{\Gamma'} = C^4 \rightarrow \frac{\sqrt{\delta}}{\Gamma' \sqrt{S_0}} = C^4 \rightarrow \Omega_1 \sim \delta^{3/2} \rightarrow \text{Droite de pente } 3/2$$

Références

- (1) J. Dalibard and C. Cohen-Tannoudji JOSA B6, 2023 (1989)
voir aussi P.J. Ungar, D.S. Weiss, E. Riis, S. Chu JOSA B6, 2058 (1989)
pour une résolution numérique des équations de Bloch optiques
- (2) Y. Castin, J. Dalibard, C. Cohen-Tannoudji Proceedings of
the LIKE workshop (L. Moi et al eds) Elbe, Mai 1990, à paraître
- (3) Y. Castin, J. Dalibard, soumis à Europhysics Letters



Complément au § 4 : Variance de la variation d'énergie

(VI-10)

- Comme dans le § 4 b, nous supposons que l'atome parcourt plusieurs τ avant de changer de niveau : $\nu \tau_p \gg \tau$ et que son énergie est élevée : $E \gg V_0$

Entre 2 sauts, l'atome, sur un sous-niveau donné, a une énergie potentielle moyenne égale à $V_0/2$, de sorte que son énergie cinétique moyenne \tilde{T} est égale à $E - V_0/2$ (Son énergie cinétique instantanée oscille entre E et $E - V_0$)

$$\tilde{T} = E - \frac{V_0}{2} = \frac{\tilde{P}^2}{2m} \quad (6.39)$$

Variance de la variation d'énergie potentielle δV

- Comme l'atome va très vite, toutes les positions z sont équiprobables et la probabilité de passer de $g_{-1/2}$ à $g_{+1/2}$ est proportionnelle à $\sin^2 k z$ en z . On en déduit comme la variation δV de V en z vaut $V_0 \cos 2kz$

$$(\overline{\delta V})_{\text{saut}} = V_0 \frac{\sin^2 k z \cos 2kz}{\sin^2 k z} = -\frac{V_0}{2} \quad (\overline{\delta V^2})_{\text{saut}} = V_0^2 \frac{\sin^2 k z \cos^2 2kz}{\sin^2 k z} = \frac{V_0^2}{2} \quad (6.40)$$

- Les résultats précédents sont pour un saut. Pendant le temps Δt , il y a $8N/6$ sauts, où $8N$ est le nombre de cycles de fluorescence, égal d'après (6.17) à $\Gamma' \Delta t (1 - \frac{2}{3} \sin^2 k z) = \Gamma' \Delta t (1 - \frac{2}{3} \cos^2 k z) = \frac{2}{3} \Gamma' \Delta t$

$$\text{Nombre moyen de sauts pendant } \Delta t = \frac{1}{6} \frac{2}{3} \Gamma' \Delta t = \frac{1}{9} \Gamma S_0 \Delta t \quad (6.41)$$

- Comme les sauts sont indépendants et que les variances s'ajoutent, on a donc $\overline{\delta V^2} - \overline{\delta V}^2 = \frac{1}{9} \Gamma S_0 \frac{V_0^2}{2} \Delta t = \frac{\Gamma S_0}{18} V_0^2 \Delta t$

Variance de la variation d'énergie cinétique δT

- Au cours d'une absorption ou d'une émission spontanée, l'impulsion p varie de p à $p - \hbar k z$ et son énergie cinétique varie de

$$\Delta T = -2\hbar k z \frac{p}{2m} + \frac{\hbar^2 k^2}{2m} \quad (6.43)$$

Nous avons calculé plus haut (§ 4 b) la moyenne de ΔT pour un cycle de fluorescence

$$(\overline{\Delta T})_{\text{cycle}} = \beta E_R \quad \text{avec } \beta = \frac{41}{30} \text{ ou } \frac{11}{6} \quad (6.44)$$

- Calculons maintenant la moyenne de ΔT^2 pour un cycle

$$(\overline{\Delta T^2})_{\text{cycle}} = \hbar^2 k^2 \frac{p^2}{m^2} + \frac{\hbar^4 k^4}{4m^2} - \hbar^2 k^2 \frac{p}{m^2} \approx 4 \frac{\tilde{P}^2}{2m} \frac{\hbar^2 k^2}{2m} = 4 \frac{\tilde{P}^2}{2m} \beta E_R \quad (6.45)$$

En effet, dans la 1^{re} égalité, on peut négliger le 2^{em} terme devant le premier (car $\tilde{P} \gg \hbar k z$), le 3^{me} est nul par symétrie, et dans le premier $p \approx \tilde{P}$

- En retranchant le carré de (6.44) de (6.45) et en négligeant de nouveau E_R devant $\tilde{P}^2/2m$, on obtient, après multiplication par $8N = \frac{2}{3} \Gamma S_0 \Delta t$ (nombre de cycles de fluorescence)³

$$\overline{\Delta T^2} - \overline{\Delta T}^2 = \frac{2}{3} \Gamma S_0 4 \frac{\tilde{P}^2}{2m} \beta E_R \quad (6.46)$$

Variance de la variation d'énergie totale δE

- En ajoutant (6.42) et (6.46), on obtient

$$\overline{\delta E^2} - \overline{\delta E}^2 = \frac{2}{3} \Gamma S_0 \Delta t \left[\frac{V_0^2}{12} + \frac{11}{6} \frac{\tilde{P}^2}{m^2} \hbar^2 k^2 \right] \quad (6.47)$$

- On connaît déjà la moyenne de δE (voir § 4 b plus haut)

$$\overline{\delta E} = \overline{\delta V} + \overline{\delta T} = \frac{2}{3} \Gamma S_0 \Delta t \left[-\frac{V_0}{12} + \beta \frac{\tilde{P}^2}{2m} \hbar^2 k^2 \right] \quad (6.48)$$

Comme les sauts de E sont petits par rapport à E , on pourrait, à partir de (6.47) et (6.48), écrire une équation de FOKKER-PLANCK pour la fonction de distribution de l'énergie

⑤ Solution des équations du pompage optique (pour un atome de vitesse v imposée) :

a - Atome immobile ($v = 0$)

- Si z est indépendant du temps, (6.22) admet une solution stationnaire

$$m^{st}(z) = -\cos 2kz \quad (7.1)$$

d'où l'on déduit les populations stationnaires de $|g_{+1/2}\rangle$, $|g_{-1/2}\rangle$, en utilisant (6.15) et (6.21)

$$\pi_{+1/2}^{st}(z) = \frac{1}{2}(1 + m^{st}(z)) = \sin^2 kz \quad (7.2.a)$$

$$\pi_{-1/2}^{st}(z) = \frac{1}{2}(1 - m^{st}(z)) = \cos^2 kz \quad (7.2.b)$$

- Les populations stationnaires de $|g_{+1/2}\rangle$ et $|g_{-1/2}\rangle$ sont représentées par les cercles pleins de la figure 3 (page VI-4). Le sous-niveau le plus peuplé est le sous-niveau le plus bas. Aux points où la polarisation est circulaire pure, le pompage optique est total dans l'un des deux sous-niveaux.

b - Atome de vitesse v : $z = vt$

Solution générale

- En utilisant $z = vt$, on peut récrire (6.22) sous la forme

$$\dot{m}(t) + \frac{1}{\tau_p} m(t) = -\frac{1}{\tau_p} \cos 2kv t \quad (7.3)$$

qui est celle d'une équation différentielle linéaire à coefficients constants (car τ_p est, d'après (6.23), indépendant de z et donc de t), avec un terme source modulé à la fréquence $2kv$. La solution forcée de (7.3), à la fréquence $2kv$, s'est donc

$$m(t) = \text{Re} \frac{-\frac{1}{\tau_p}}{2ikv + \frac{1}{\tau_p}} e^{2ikvt} \quad (7.4)$$

c'est à dire encore en revenant à la variable $z = vt$

$$m(z) = -\frac{1}{1 + 4k^2v^2\tau_p^2} \cos 2kz - \frac{2kv\tau_p}{1 + 4k^2v^2\tau_p^2} \sin 2kz \quad (7.5)$$

- Il apparaît clairement sur (7.4) et (7.5) que le paramètre important pour décrire les variations de $m(z)$ avec v est

$$kv\tau_p = \frac{vt_p}{\lambda} \quad (7.6)$$

qui est le rapport entre la distance parcourue par l'atome pendant le temps de pompage optique et la longueur d'onde λ , qui caractérise les variations spatiales de l'onde laser. $kv\tau_p$ est en quelque sorte un paramètre de non adiabaticité qui caractérise la difficulté qu'a le pompage optique de suivre les

[VII-2]

variations de la polarisation laser pour un atome en mouvement à la vitesse v . Si $k v \tau_p \gg 1$, les effets non adiabatiques seront importants.

- On peut encore dire que, dans son référentiel au repos, l'atome voit une lumière dont la polarisation est modulée, passant alternativement de 5^+ à 5^- . Si la modulation est lente ($k v \ll 1/\tau_p$), le pompage optique a le temps de suivre les variations de la polarisation, et M oscille entre -1 et +1. Si la modulation est rapide ($k v \gg 1/\tau_p$), le pompage optique n'a plus le temps de suivre et l'atome n'est plus polarisé $\rightarrow M \approx 0$ et par suite $\pi_{+1/2} \approx \pi_{-1/2} \approx 1/2$.

Solutions à faible vitesse : $k v \tau_p \ll 1$

- A l'ordre 1 en $k v \tau_p$, (7.5) donne, compte tenu de (7.1)

$$\begin{aligned} M(z) &= -\cos 2kz - 2k v \tau_p \sin 2kz \\ &\approx -\cos 2k(z - v \tau_p) \\ &= M^{st}(z - v \tau_p) \end{aligned} \quad (7.7)$$

L'état interne d'un atome en mouvement lent, qui passe au point z avec la vitesse v , est donc le même que celui d'un atome qui serait au repos derrière lui au point $z - v \tau_p$. On voit ainsi clairement les "effets de retard" introduits sur un atome en mouvement par le fait que le pompage optique nécessite un temps fini τ_p .

- Le résultat (7.7) peut être retrouvé par une autre méthode qui a l'avantage de s'appliquer même si τ_p dépendait de z , auquel cas on ne disposeraient pas d'une solution générale aussi simple que (7.4).

Comme $z = vt$, on peut réécrire (6.22) sous la forme

$$\frac{\partial}{\partial t} M + v \frac{\partial}{\partial z} M = -\frac{1}{\tau_p} M - \frac{\cos 2kz}{\tau_p} \quad (7.8)$$

Après un temps de l'ordre de τ_p , le régime transitoire s'est amorti et le terme $\partial M / \partial t$ est nul.

$$v \frac{\partial}{\partial z} M = -\frac{1}{\tau_p} M - \frac{\cos 2kz}{\tau_p} \quad (7.9)$$

On peut alors rechercher une solution de (7.9) sous forme d'un développement en puissances de $k v \tau_p$. A l'ordre 0, on peut ignorer le membre de gauche de (7.9), ce qui donne alors la solution stationnaire (7.1)

$$M^{(0)}(z) = M^{st}(z) \quad (7.10)$$

A l'ordre 1, on peut remplacer dans le membre de gauche, qui est déjà proportionnel à v , M par $M^{(0)} = M^{st}$, ce qui donne, puisque le terme en $-\cos 2kz / \tau_p$ a disparu après le calcul à l'ordre 0

$$M^{(1)}(z) = -v \tau_p \frac{\partial}{\partial z} M^{st}(z) \quad (7.11)$$

En ajoutant (7.10) et (7.11), on obtient alors, à l'ordre 1 inclus

$$m(z) = m^{st}(z) - v \tau_p \frac{d}{dz} m^{st}(z) \approx m^{st}(z - v \tau_p) \quad (7.12)$$

qui coïncide avec (7.7).

Solution à grande vitesse : $k v \tau_p \gg 1$

L'équation (7.5) donne alors

$$m(z) = -\frac{1}{2k v \tau_p} \sin 2kz \quad (7.13)$$

$m(z)$ décroît donc en $1/v$ à grande vitesse.

⑥ Description du mouvement atomique dans le régime $T_{int} \ll T_{ext}$

Si $T_{int} \ll T_{ext}$, l'atome change très souvent de sous-niveau avant que sa vitesse n'ait eu le temps de changer appréciablement. On peut alors utiliser les résultats du paragraphe précédent donnant l'état interne de l'atome pour une vitesse v fixée

a - Atome immobile en z

Force radiative moyenne - Potentiel effectif

- Il suffit de reporter (7.1) dans l'expression (6.14) de la force radiative moyenne \bar{F} pour obtenir la valeur F de la composante sur Oz de \bar{F} , pour un atome en z avec $v=0$

$$\bar{F}(z, v=0) = -k U_0 \sin 2kz \cos 2kz = -\frac{k U_0}{2} \sin 4kz \quad (7.14)$$

- On peut encore écrire

$$\bar{F}(z, v=0) = -\frac{d}{dz} \bar{U}(z) \quad (7.15)$$

où $\bar{U}(z)$ est un potentiel effectif égal à

$$\bar{U}(z) = \frac{U_0}{4} \sin^2 2kz \quad (7.16)$$

- Il est clair, d'après (7.14), que la moyenne spatiale de $\bar{F}(z, v=0)$, notée $\overline{\bar{F}(v=0)}$, est nulle

$$\overline{\bar{F}(v=0)} = 0 \quad (7.17)$$

Un tel résultat se comprend aisément sur la figure 3. En 2 points symétriques par rapport au fond d'une vallée, par exemple en $z = \lambda/4$, les populations sont égales, mais les gradients des énergies de chaque sous-niveau sont opposés

Condition de validité du résultat obtenu

- La condition $T_{int} \ll T_{ext}$ sur laquelle repose le calcul précédent signifie que l'atome, initialement immobile, doit se déplacer d'une quantité très petite devant τ pendant τ_p .

- L'ordre de grandeur de F est $k U_0$, l'accélération correspondante étant de l'ordre de $k U_0 / M$. Pendant le temps τ_p , l'atome se déplace d'une quantité de l'ordre de $\frac{k U_0}{M} \tau_p^2$, qui doit donc être très petite devant $\tau = 1/k$, ce qui donne

$$\frac{k U_0}{M} \tau_p^2 \ll \frac{1}{k} \quad (7.18)$$

que l'on peut encore recevoir, compte tenu de (6.35)

$$\Omega_{\text{osc}} \tau_p \ll 1 \quad (7.19)$$

On retrouve bien le régime "sautant" introduit au § 4.c.

Coefficient de diffusion de l'impulsion

- Nous nous contenterons ici d'une discussion qualitative
- Diffusion d'impulsion due aux photons de fluorescence : D_{sport}
La direction d'émission de ces photons est aléatoire. L'impulsion atomique effectue donc une marche aléatoire dans l'espace des impulsions, de pas $\hbar k$, le nombre de pas par unité de temps étant de l'ordre de $\Gamma' = \Gamma s_0$. On en déduit

$$D_{\text{sport}} \simeq \hbar^2 k^2 \Gamma' s_0 \quad (7.20)$$

- Diffusion d'impulsion due aux fluctuations de la différence entre le nombre de photons absorbés dans chaque onde : D_{abs}
Il est du même ordre de grandeur que le précédent

$$D_{\text{abs}} \simeq \hbar^2 k^2 \Gamma' s_0 \quad (7.21)$$

- Diffusion d'impulsion due aux fluctuations des forces dipolaires : D_{dip}

Tous les τ_p en moyenne, l'atome change de sous-niveau et la force instantanée, liée au gradient de $E_{+1/2}$ ou $E_{-1/2}$, de l'ordre de $k V_0$, change de signe. La fonction de corrélation de cette force, $\overline{F(t)F(t-\tau)}$, de l'ordre de $k^2 V_0^2$ pour $\tau=0$, tend vers 0 quand $\tau \gg \tau_p$, de sorte que

$$\begin{aligned} D_{\text{dip}} &\simeq \int_0^\infty d\tau \overline{F(t)F(t-\tau)} \simeq k^2 V_0^2 \tau_p \\ &\simeq \hbar^2 k^2 \frac{\delta^{1/2}}{\Gamma'} = \hbar^2 k^2 \Gamma' s_0 \frac{\delta^2}{\Gamma'^2} \end{aligned} \quad (7.22)$$

Pour $|\delta| \gg \Gamma$, D_{dip} est plus important que D_{sport} et D_{abs} .

Un calcul exact de D_{dip} , présenté dans la Réf (1), donne pour la moyenne spatiale de D_{dip}

$$\overline{D_{\text{dip}}} = \frac{3}{4} \hbar^2 k^2 \Gamma' s_0 \frac{\delta^2}{\Gamma'^2} \quad (7.23)$$

b - Atome de vitesse faible : $k v \tau_p \ll 1$

Calcul de la force - Coefficient de friction

- Reportons la 1^{re} ligne de (7.7) dans l'expression (6.14) de F . Il vient

$$\tilde{F}(z, v) = F(z, v=0) - \alpha(z) v \quad (7.24)$$

où $\alpha(z)$, qui est le coefficient de friction en z , vaut

$$\alpha(z) = 2 k^2 V_0 \tau_p \sin^2 2k z \quad (7.25)$$

- Contrairement à $F(z, v=0)$ qui a une moyenne spatiale nulle (voir (7.17)), $\alpha(z)$ a une moyenne spatiale qui vaut

$$\bar{\alpha} = k^2 V_0 \tau_p = -\frac{2}{3} \hbar k^2 \delta s_0 \tau_p \\ = -3 \hbar k^2 \frac{\delta}{\Gamma} \quad (7.26)$$

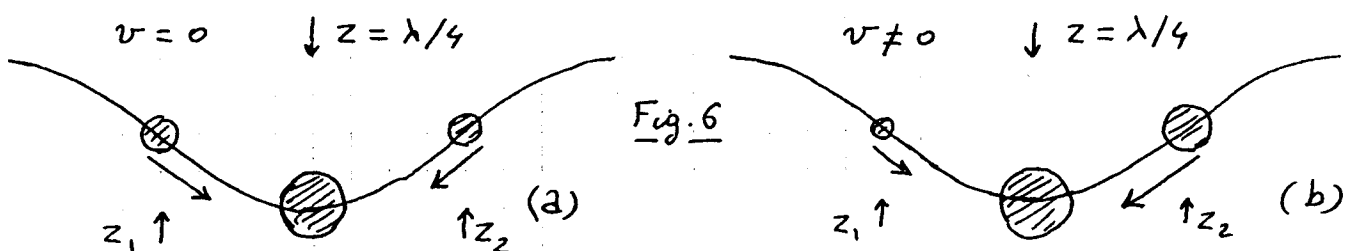
On a utilisé (6.13) et (6.23). Rappelons que $\delta < 0$, de sorte que α est bien positif et représente une friction.

- Le temps d'amortissement de la vitesse associé à la force (7.24) moyennée sur une longueur d'onde est de l'ordre de $1/\bar{\alpha}M \approx 1/k^2 V_0 \tau_p M$ d'après (7.26). Ce temps peut être considéré comme un temps externe T_{ext} . En courant qui un tel temps est très long devant $T_{int} \approx \tau_p$, on retrouve la condition (7.18).

Discussion physique

(i) Le fait que $\bar{F}(z, v)$ n'a plus une moyenne spatiale nulle quand $v \neq 0$ est dû à l'effet de retard discuté dans le § 5 b plus haut.

Considérons, sur la courbe $E_{+1/2}(z)$ de la figure 3, 2 points z_1 et z_2 situés symétriquement de part et d'autre de $z = \lambda/4$. Pour $v = 0$, les populations stationnaires de $g_{+1/2}$ sont égales en ces 2 points, alors que les gradients de $E_{+1/2}$ sont opposés (Fig. 6 a)



Supposons maintenant $v \neq 0$. Comme $\Pi_{+1/2}^{st}(z)$ est une fonction croissante de z sur la partie descendante de $E_{+1/2}(z)$, en particulier au voisinage de z_1 , $\Pi_{+1/2}$ sera plus petit au point z_1 pour un atome en mouvement que pour un atome au repos (voir Fig. 6 b), à cause de l'effet de retard qui entraîne que $\Pi_{+1/2}(z_1) = \Pi_{+1/2}^{st}(z_1 - v \tau_p) < \Pi_{+1/2}^{st}(z_1)$.

Au contraire, au voisinage de z_2 , sur la partie montante de $E_{+1/2}(z)$, $\Pi_{+1/2}^{st}(z)$ est une fonction décroissante de z de sorte que $\Pi_{+1/2}(z_2) = \Pi_{+1/2}^{st}(z_2 - v \tau_p) > \Pi_{+1/2}^{st}(z_2)$.

Il apparaît ainsi clairement sur les figures 6 a et 6 b que la force qui accélère l'atome dans les parties descendantes est plus faible pour $v \neq 0$ que pour $v = 0$, alors que la force qui le décelle dans les parties montantes est plus forte pour $v \neq 0$ que pour $v = 0$. On comprend ainsi pourquoi l'atome en mouvement est globalement ralenti.

(ii) Une caractéristique très importante de $\bar{\alpha}$, qui apparaît clairement sur (7.19), est que $\bar{\alpha}$ est indépendant de l'intensité laser I_L . Un tel résultat est dû au fait que, quand I_L décroît, la diminution de V_0 (déplacements lumineux) est compensée par un allongement de τ_p (temps de pompage optique). Rappelons que pour le refroidissement laser Doppler, le coefficient de friction est proportionnel à I_L . Notons enfin que la valeur de $\bar{\alpha}$ trouvée

en (7.19) est plus grande que la valeur maximale de α pour le refroidissement laser Doppler.

(iii) Sous l'effet du terme indépendant de v de (7.24), l'atome effectue des oscillations dans le potentiel effectif $\bar{V}(z)$ donné en (7.16). La fréquence de ces oscillations est, à un facteur 2 près, la fréquence Ω_{osc} calculée en (6.35). Le 2^e terme de (7.24) amortit une telle oscillation avec un taux γ .

$$\gamma \approx \frac{\alpha}{M} \approx \frac{k^2 V_0}{M} \tau_p \quad (7.27)$$

Comparons γ à Ω_{osc} . En utilisant (6.35) et (7.20), on obtient

$$\frac{\gamma}{\Omega_{\text{osc}}} \approx \frac{\frac{k^2 V_0}{M} \tau_p}{k \sqrt{\frac{V_0}{M}}} = k \sqrt{\frac{V_0}{M}} \tau_p = \Omega_{\text{osc}} \tau_p \ll 1 \quad (7.28)$$

puisque nous supposons dans tout ce paragraphe la condition (7.19) vérifiée. L'oscillation de l'atome dans $\bar{V}(z)$ est donc très peu amortie.

Ordre de grandeur de la température

- A partir du coefficient de friction α , donné en (7.26), et du coefficient de diffusion de l'impulsion qui, pour $181 \gg \Gamma$, est de l'ordre de D_{sp} donné en (7.22), on peut estimer l'ordre de grandeur de la température d'équilibre. Comme dans la théorie du mouvement Brownien, on a

$$k_B T \approx \frac{D}{\alpha} \approx \frac{h^2 k^2 \Gamma s_0 \delta^2 / \Gamma^2}{h k^2 \delta / \Gamma} \approx h \delta s_0 = h \delta' \approx V_0 \quad (7.29)$$

On trouve que $k_B T$ est de l'ordre de grandeur du déplacement lumineux $h \delta'$ de l'état fondamental, ou encore de l'ordre de grandeur de la profondeur V_0 des points de potentiel de la figure 3. On trouve le même résultat que celui fourni par le raisonnement général du § 4 a ci-dessus, conduisant à une énergie moyenne finale de l'ordre de V_0 .

- Comme $s_0 \approx \Omega_1^2 / 2 \delta^2$ pour $181 \gg \Gamma$, on a

$$k_B T \approx h \frac{\Omega_1^2}{181} \quad (7.30)$$

La température d'équilibre est donc proportionnelle à Ω_1^2 , donc à l'intensité laser et inversement proportionnelle au module du désaccord 181 .

- A faible intensité, le déplacement lumineux de l'état fondamental est beaucoup plus petit que $h \Gamma$. Le refroidissement Siyaga conduit donc à une température beaucoup plus basse que le refroidissement Doppler. On ne peut pas cependant réduire indefinitely l'intensité laser, puisque nous avons vu plus haut (§ 4 b) que V_0 doit être supérieur à un seuil de quelques dizaines de ER.

- Le résultat précédent n'est valable que si la plage de vitesses correspondant à (7.29) est suffisamment petite pour

que l'approximation \bar{F} linéaire en v et D indépendant de v soit valable. Nous revenons plus loin sur ces 2 points.

C - Atome de vitesse quelconque

Calcul de la force

Au lieu de reporter (7.7) dans (6.14), on reporte maintenant l'expression exacte (7.5). Après moyenne spatiale, on trouve pour la force moyenne

$$\overline{\bar{F}(v)} = -kV_0 \frac{kv\tau_p}{1 + 4k^2v^2\tau_p^2} = -\frac{\bar{\alpha}v}{1 + \left(\frac{v}{v_c}\right)^2} \quad (7.31)$$

où $\bar{\alpha}$ est donné en (7.26) et où v_c est une "vitesse de capture" donnée par

$$v_c = \frac{1}{2k\tau_p} = \frac{\lambda}{2\tau_p} \quad (7.32)$$

Un atome de vitesse v_c parcourt donc une distance $\lambda/2$ pendant le temps de pompage optique

Discussion physique

- v_c donne l'ordre de grandeur de la plage de vitesses dans laquelle $\bar{F}(v)$ reste linéaire. Comme $1/\tau_p$ est proportionnel à l'intensité laser S_L^2 , v_c décroît comme S_L^2 quand S_L diminue. Cette situation est différente de celle du refroidissement Doppler où la vitesse de capture, de l'ordre de T/k , est indépendante de S_L .

- La plage de vitesse correspondant à la température d'équilibre (7.30) est donné par

$$k_B T \approx \frac{1}{2} M v_{rms}^2 \sim \frac{\hbar S_L^2}{181} \quad (7.33)$$

v_{rms} varie proportionnellement à S_L , alors que v_c varie quadratiquement. Pour que le calcul conduisant à (7.29) ou (7.30) soit valable, il faut que v_{rms} tombe dans la zone linéaire de $\bar{F}(v)$, c'est à dire encore que $v_{rms} < v_c$, ce qui donne, compte tenu de (7.32) et (7.33)

$$k_B T \gg E_R \frac{\delta^2}{P^2} \quad (7.34)$$

En fait, le raisonnement précédent suppose encore que le coefficient de diffusion reste constant dans l'intervalle v_c . Nous allons voir maintenant, en étudiant ce qui se passe à grande vitesse, que D décroît avec v sur un intervalle de l'ordre de v_c , de sorte que la condition (7.34) est trop sévère.

d - Atome de vitesse élevée

Description des phénomènes à la limite $E \gg V_0$, $v \gg v_c$

- C'est la description donnée au § 4 ci-dessus, en termes de sauts d'un sous niveau à l'autre au cours desquels E varie de δE , de l'ordre de $-V_0$. Comme $V_0 \ll E$, chaque

Sont fait varier très peu l'énergie en valeur relative, de sorte que $T_{ext} \gg T_{int}$. On peut donc, à haute énergie (et même si $\beta s_0 \tau_p \gg 1$), utiliser la description en termes de force moyenne et de coefficient de diffusion. C'est uniquement quand E aura beaucoup diminué et sera devenu de l'ordre de V_0 qu'il faudra éventuellement changer de description si $\beta s_0 \tau_p \gg 1$.

- Entre 2 sauts, l'atome reste sur un même sous niveau, avec une énergie totale E constante. Comme $v \gg v_c$, il parcourt plusieurs λ avant de changer de sous niveau et son énergie cinétique T , qui oscille entre E et $E - V_0$, a une valeur moyenne

$$\tilde{T} = E - \frac{V_0}{2} = \frac{v^2}{2M} \quad (7.35)$$

Comme V_0 est constant, on déduit que (7.35) que la variation $\delta \tilde{T}$ de \tilde{T} dans un saut est égale à la variation δE de E

$$\delta \tilde{T} = \delta E = \frac{\tilde{P}}{M} \delta \tilde{p} = v \delta \tilde{p} \quad (7.36)$$

- Dans le § 4 ci-dessus (voici notamment les formules (6.48) et (6.47) du complément au § 4, page VI-10), nous avons calculé la valeur moyenne $\overline{\delta E}$ de δE et sa variance $\overline{\delta E^2} - \overline{\delta E}^2$ au bout d'un temps δt . Comme d'après (7.36), $\delta \tilde{p} = \delta E/v$, nous pouvons en déduire la vitesse de variation de la valeur moyenne et de la variance de $\delta \tilde{p}$, c.-à-d encore la force moyenne et le coefficient de diffusion de p à vitesse élevée

Force moyenne et coefficient de diffusion de l'impulsion à vitesse élevée

- De (6.47) et (6.48) et de $\delta \tilde{p} = \delta E/v$, on déduit (pour $\beta = \frac{11}{6}$)

$$\frac{\overline{\delta \tilde{p}}}{\delta t} = \frac{2}{3} \frac{\Gamma s_0}{v} \left[-\frac{V_0}{12} + \frac{11}{6} \frac{t^2 k^2}{2M} \right] = \overline{F} \quad (7.37)$$

$$\frac{\overline{\delta p^2} - \overline{\delta \tilde{p}}^2}{\delta t} = 2D = \frac{2}{3} \Gamma s_0 \frac{1}{v^2} \left[\frac{V_0^2}{12} + \frac{11}{6} v^2 t^2 k^2 \right] \quad (7.38)$$

- Force moyenne

Si l'on suppose $V_0 \gg E_R$, on peut négliger le 2^{ème} terme du crochet de (7.37). On obtient alors, compte tenu de (6.23) et (7.26)

$$\overline{F(v)} = -\frac{2}{3} \frac{\Gamma s_0}{v} \frac{V_0}{12} = -k^2 V_0 \tau_p \frac{v}{4 v^2 k^2 \tau_p^2} = -\bar{\alpha} v \frac{(v)}{(v_c)^2} \quad (7.39)$$

qui coïncide avec la forme asymptotique de (7.31) pour $v \gg v_c$.

- Coefficient de diffusion de l'impulsion

On peut écrire (7.38) sous la forme

$$D = D_0 + D_1(v) \quad (7.40)$$

où

$$D_0 = \frac{11}{3} \Gamma s_0 t^2 k^2 \quad (7.41)$$

$$D_1(v) = \frac{\pi S_0}{36} \frac{V_0^2}{v^2} \quad (7.42)$$

D_0 est le coefficient de diffusion dû aux fluctuations de la direction d'émission des photons de fluorescence et aux fluctuations de la différence entre les nombres de photons absorbés dans les 2 ondes. D_1 , qui est proportionnel à V_0^2 , est le coefficient de diffusion dû aux fluctuations des forces dipolaires. En utilisant (6.13), (6.23) et (7.23), on peut l'écrire sous la forme

$$D_1(v) = \frac{\hbar^2 k^2 P S_0}{r^2} \frac{\delta^2}{4 k^2 v^2 \tau_p^2} = \frac{4}{3} D_{\text{dip}}(v=0) \frac{1}{(\frac{v}{v_c})^2} \quad (7.43)$$

Il apparaît ainsi que le coefficient de diffusion D_{dip} décroît avec v , en $(4/3)(v_c/v)^2$ pour $v \gg v_c$. Cette décroissance est due au fait que, comme l'atome parcourt plusieurs λ avant de changer de niveau, la force dipolaire instantanée (gradient de $E+1/2$ ou $E-1/2$) oscille plusieurs fois avant de changer de signe. La fonction de corrélation de $F(t)$, $\overline{F(t)F(t-\tau)}$, qui a l'allure représentée sur la Fig. 7.2 pour $v=0$, a l'allure représentée sur la Fig. 7.6 pour $v \gg v_c$.

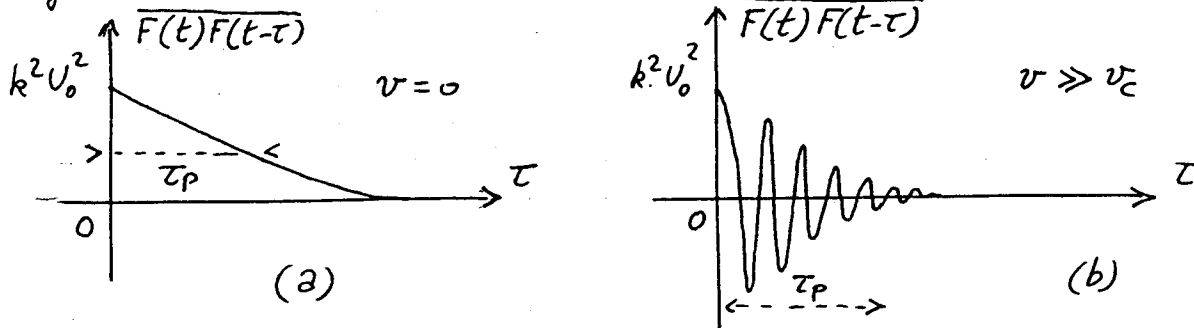


Fig. 7

L'intégrale de $\overline{F(t)F(t-\tau)}$, qui n'est autre que D_1 ou D_{dip} , est donc beaucoup plus petite pour $v \gg v_c$ que pour $v=0$.

- Conséquence pour la température d'équilibre.

Pour $v \gg v_c$, la force de friction est beaucoup plus faible d'après (7.31). Mais en même temps le changement par diffusion d'impulsions est beaucoup plus faible d'après (7.43), à condition bien sûr que $D_1(v)$ reste encore prépondérant devant D_0 . Il s'ensuit que le refroidissement Syghe peut rester efficace même si $v \gg v_c$. On peut montrer ainsi que la condition de validité de (7.29), écrite plus haut sous la forme $v_{\text{rms}} \ll v_c$ peut être remplacée par $v_{\text{rms}} \ll v_c \frac{181}{P}$ qui est moins stricte.

Références : les mêmes que page VII - 9